

INSTITUTO MILITAR DE ENGENHARIA

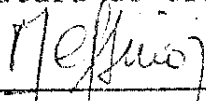
RACIONALIZAÇÃO DO DIMENSIONAMENTO DA  
SUPERESTRUTURA FERROVIÁRIA E  
CAMADA FINAL DE TERRAPLENAGEM

POR

JOSE JÚLIO PRATA GOMES

TESE SUBMETIDA  
COMO REQUISITO PARCIAL  
PARA A OBTENÇÃO DO GRAU DE  
MESTRE EM CIÊNCIAS  
EM TRANSPORTES

Assinatura do Orientador da Tese

  
MARIA CRISTINA FOGLIATTI DE SINAY, Ph.D.

Rio de Janeiro

Março, 1984

A minha mãe  
Lucia

## AGRADECIMENTOS

Ao Instituto Militar de Engenharia (IME) e à Empresa Brasileira de Planejamento de Transportes (GEIPOT), pela realização do Programa de Pós-Graduação em Transportes.

A Seção de Engenharia de Construção (SE/2 - IME).

Ao Engº Eliano Moreira de Souza, Presidente da ENGEFER que, grande incentivador do aperfeiçoamento de seus engenheiros, indicou-me para o Curso de Pós-Graduação do IME.

A Profª Maria Cristina Fogliatti de Sinay pelo apoio e orientação correta e segura no desenvolvimento deste trabalho.

Ao Engº Sergio Misso pela significativa orientação no desenvolvimento do tema, experiência e estímulo demonstrado em todas as fases deste Curso, sendo como professor ou como co-orientador.

Aos Engºs Fernando L.C. Mac Dowell da Costa e Carlos Alceu Rodrigues pela contribuição na elucidação de dúvidas e conceitos relativos ao tema deste trabalho.

Ao Engº José Figueiredo de Castro, pela demonstração de confiança, em me propor como candidato ao Curso.

Aos Engºs. Horácio Madureira e Norton da Costa Chaves pelo apoio no decorrer do Curso.

Aos companheiros Engºs Osiris Fernandes e Heitor Moreira, pelo incentivo e pela motivação.

Ao Engº Sergio Stopatto, grande mestre da Superestrutura Ferroviária, pelo exemplo e conhecimento.

Aos companheiros da ENGEFER pelo interesse, vibração, estímulo e apoio técnico.

Aos amigos do GEIPOT pelo incentivo, colaboração e empréstimo de seus acervos pessoais no interesse de enriquecer este trabalho.

Aos colegas da CVRD pela contribuição dada no levantamento da bibliografia e dados necessários.

Aos funcionários das Bibliotecas da ENGEFER, RFFSA, CVRD e GEIPOT pela ajuda sempre interessada e amável durante as pesquisas bibliográficas.

À Srta Mari Reis de Moraes da ENGEFER, Lelivaldo Marques Barreto do IME e José Carlos Gotelip Feijó de Melo da ENGEFER pela presteza e qualidade na datilografia e desenhos deste e de todos os outros trabalhos desenvolvidos ao longo do Curso.

A meus amigos e colegas de Curso pela união, identidade e companheirismo.

Aos professores e funcionários da Seção de Engenharia de Construção - SE/2 - CPTRAN.

E a todos aqueles, e que são muitos, que contribuiram positivamente, direta e indiretamente para a realização deste trabalho, o meu reconhecimento e gratidão.

## SINOPSE

O presente trabalho tem por objetivo fornecer ao meio técnico um instrumento prático para racionalizar o dimensionamento do conjunto superestrutura ferroviária e camada final de terraplenagem, independente da metodologia empregada para determinação do custo total anual e para o cálculo dos esforços e pressões que atuam nesse conjunto, associando os aspectos técnicos aos econômicos.

Para atingir esse objetivo foi criado um modelo matemático de dimensionamento e um procedimento de racionalização das etapas envolvidas nesse processo e foi desenvolvido um programa para computador em linguagem Fortran que, empregando as técnicas de otimização de Hooke e Jeeves associado ao Método das Penalidades, permite a resolução numérica.

Para demonstrar a utilização do modelo e procedimento foram desenvolvidas duas aplicações práticas, uma para ferrovia de transporte metropolitano e outra de carga.

Finalmente conclusões sobre as potencialidades do trabalho foram extraídas assim como sugestões para futuros estudos apresentadas.

## ABSTRACT

The purpose of this work is to develop a rational scheme to dimension the so-called "track structure and foundation" set, that would be of practical use for technicians in this area. The proposed scheme would have to be independent of the methodologies selected to represent the total annual cost in services and materials and to determine the stresses and would have to associate technical and economical aspects.

To achieve that purpose a mathematical model and a procedure to rationalize the steps involved in dimensioning were created and a computer program in Fortran language was developed. With this, associating the Hooke and Jeeves optimization technique with the Penalty Method numerical results were obtained for specific problems.

Two practical applications were developed, one for metropolitan and the other for cargo railways.

Finally, conclusions about the work potentialities were made as well as suggestions for future studies were presented.

## LISTA DE QUADROS

QUADRO 1: Características Operacionais	36
QUADRO 2: Características Planimétricas	37
QUADRO 3: Características Altimétricas	37
QUADRO 4: Características dos Materiais Selecionados para a Camada Final de Terraplenagem e Sub-lastro	38
QUADRO 5: Versões do Programa Penal	42
QUADRO 6: Dados de Entrada - PENALIN	44
QUADRO 7: Resultados - PENAL 1	52
QUADRO 8: Resultados - PENAL 2	53
QUADRO 9: Resultados - PENAL 3	54
QUADRO 10: Características Operacionais	56
QUADRO 11: Características Planimétricas	56
QUADRO 12: Características Altimétricas	57
QUADRO 13: Características dos Materiais Selecionados para a Camada Final de Terraplenagem e Sub-lastro	57

QUADRO 14: Condições Iniciais	58
QUADRO 15: Restrições de Projeto	58
QUADRO 16: Dados de Entrada - PENALIN	61
QUADRO 17: Resultados - PENAL 1	62
QUADRO 18: Resultados - PENAL 2	63
QUADRO 19: Resultados - PENAL 3	64
QUADRO 20: Versões do Programa Penal	80
QUADRO 21: Arquivo PENALIN	84
QUADRO 22: Resultados Parciais - PENALOUT	88
QUADRO 23: Custos Unitários - Transporte Ferroviário Metropolitano	90
QUADRO 24: Custos Unitários - Transporte Ferroviário de Carga	93
QUADRO 25: Avaliação da Vida Útil do Materiais e Serviços	96

## LISTA DE ILUSTRAÇÕES

Figura 1: Pressões Geradas pelo Lastro nas Camadas Subjacentes	16
Figura 2: Fluxograma do Procedimento	30
Figura 3: Seção Transversal tipo - Trem Metro- politano	40
Figura 4: Seção Transversal tipo - Trem de Carga	59
Figura 5: Programa Penal - Diagrama de Blocos	81

## SIMBOLOGIA

ENGEFER - Empresa de Engenharia Ferroviária S.A.

RFFSA - Rede Ferroviária Federal S.A.

CVRD - Companhia Vale do Rio Doce S.A.

IME - Instituto Militar de Engenharia

ENEFER - Enefer - Consultoria e Projetos Ltda

AREA - American Railway Engineering Association

GEIPOT - Empresa Brasileira de Planejamento de Transportes

Cr\$ - Cruzeiros

km - Quilômetro

m - Metro

cm - Centímetro

mm - Milímetro

v - Velocidade

h - Hora

lb - Libra

jd - Jarda

un - Unidade

t - Tonelada

kg - Quilograma

MTBA - Milhões de toneladas brutas americanas ("short-ton")

MTB - Milhões de toneladas brutas

% - Porcentagem

TUE - Trem Unidade Elétrico

## INDICE

SUMÁRIO	v
ABSTRACT	vi
LISTA DE QUADROS	vii
LISTA DE ILUSTRAÇÕES	ix
SIMBOLOGIA	x
I - INTRODUÇÃO	1
1.1 - Considerações Gerais e Objetivo	1
1.2 - Descrição do Trabalho	3
II - A SUPERESTRUTURA FERROVIÁRIA	6
2.1 - Considerações Gerais	6
2.2 - O Dimensionamento da Superestrutura	6
2.2.1 - Cálculo dos Esforços que Atuam na Via	7
2.2.2 - Dimensionamento do Lastro e Sub-Lastro	11
2.2.2.1 - Lastro	11
2.2.2.2 - Sub-Lastro e Camada Final de Terra-plenagem	14
2.3 - Considerações Finais	18
III - O MODELO	19
3.1 - Considerações Preliminares	19
3.2 - O Modelo	20

3.2.1 - Variáveis de Decisão	20
3.2.2 - Condições de Contorno	20
3.2.3 - Estrutura do Modelo	24
3.2.4 - Algoritmo Numérico	26
3.2.4.1 - Método das Penalidades	27
3.2.4.2 - O Programa Penal	27
3.3 - O Procedimento	28
3.3.1 - Identificação das Condicionantes Básicas do Projeto	30
3.3.2 - Análise das Disponibilidades de Mercado	31
3.3.3 - Identificação das Disponibilidades do Sítio de Implantação	31
3.3.4 - Estabelecimento das Condições Iniciais	31
3.3.5 - Seleção das Metodologias	32
3.3.6 - Elaboração das Alternativas	33
3.3.7 - Aplicação do Modelo	33
3.3.8 - Avaliação dos Resultados	33
 IV - APLICAÇÃO PRÁTICA	 35
4.1 - Considerações Preliminares	35
4.2 - Desenvolvimento dos Exemplos	35
4.2.1 - Trem Metropolitano	35
4.2.1.1 - Identificação das Condicionantes Básicas do Projeto	36
4.2.1.2 - Identificação das Disponibilidades de Mercado	37

4.2.1.3 - Identificação das Disponibilidades do Sítio de Projeto	38
4.2.1.4 - Estabelecimento das Condições Iniciais	39
4.2.1.5 - Seleção das Metodologias	39
4.2.1.6 - Elaboração das Alternativas	42
4.2.1.7 - Aplicação do Modelo	43
4.2.1.8 - Avaliação dos Resultados	51
4.2.2 - Trem de Carga	55
4.2.2.1 - Identificação das Condicionantes Básicas do Projeto	55
4.2.2.2 - Identificação das Disponibilidades do Sítio de Projeto	57
4.2.2.3 - Estabelecimento das Condições Iniciais	58
4.2.2.4 - Elaboração das Alternativas	58
4.2.2.5 - Aplicação do Modelo	60
4.2.3 - Considerações Finais	60
V - CONCLUSÕES E RECOMENDAÇÕES	66
5.1 - Conclusões	66
5.2 - Recomendações	68
APÊNDICE A - Listagem do Programa Penal	69
APÊNDICE B - Programa Penal	79
APÊNDICE C - Custos Unitários - Transporte Ferroviário Metropolitano	90

APÊNDICE D - Custos Unitários - Transporte Ferroviário de Carga	93
APÊNDICE E - Avaliação da Vida Útil dos Materiais e Serviços	96
REFERÊNCIAS BIBLIOGRÁFICAS	101

## CAPITULO I

### INTRODUÇÃO

#### 1.1 - Considerações Gerais e Objetivo

A base de todo planejamento está fundamentada nos preceitos técnicos e econômicos para determinação de projetos viáveis que representem o menor custo de implantação, manutenção e operação ao longo de sua vida útil.

No contexto atual de recessão e escassez de recursos, as entidades de financiamento tornam-se cada vez mais exigentes na avaliação dos projetos que lhes são submetidos, fazendo com que o fator custo seja de primordial importância nas decisões que levam a implementação dos mesmos.

Os conceitos para a elaboração de um projeto de engenharia evoluíram. As técnicas tornaram-se mais apuradas. Processos e métodos foram implementados para garantir a otimização dos meios empregados. A adequação do projeto às condicionantes econômicas e financeiras tornou-se então imperiosa. Diante disso, as soluções de aproveitamento máximo dos recursos naturais disponíveis em cada sitio de implantação, com vistas a redução do custo total do empreendimento, passaram a ser obrigatórias.

Na área dos transportes, particularmente na ferro

viária, os investimentos iniciais são de grande vulto e de inversão a longo prazo. Em vista disso, atenção especial tem sido dedicada a todas as atividades envolvidas na construção, manutenção e operação com o intuito de aumentar a eficácia do empreendimento na recuperação do investimento realizado. Com esse procedimento, o setor ferroviário passa a ter maiores possibilidades de disputar mais competitivamente os recursos alocados no setor dos transportes.

A engenharia ferroviária no Brasil tem experimentado sensível aprimoramento a partir do ressurgimento dessa atividade em fins da década de 60: a tecnologia estrangeira foi assimilada e vem sendo convenientemente adaptada às características nacionais.

Entretanto, alguns sub-sistemas, como o de projeto da superestrutura ferroviária, ainda carecem de estudos mais aprofundados com vistas a adequação dos procedimentos de dimensionamento ao novo conceito de otimização.

Considerando que todas as metodologias para dimensionamento da superestrutura ferroviária são processos diretos de cálculo de esforços e de reações, torna-se necessário que os engenheiros de projeto ou planejadores disponham de uma ferramenta técnica que os auxilie na tarefa de racionalizar a aplicação dessas metodologias levando em conta os aspectos econômicos envolvidos.

O objetivo deste trabalho é desenvolver um instrumento capaz de associar os aspectos técnicos aos econômicos do dimensionamento do conjunto superestrutura ferroviária e camada final de terraplenagem através de um modelo matemático.

O tema escolhido também justifica-se pelas seguintes razões:

- se enquadrar na linha de pesquisa "Racionalização dos Sistemas de Transportes Ferroviário de Carga", atualmente em desenvolvimento no IME;

- estar em concordância com as diretrizes do III PBDCT, TRANSPORTES, as quais recomendam a "realização de estudos e pesquisas para o desenvolvimento de técnicas e metodologias de projeto, implantação, melhoria e conservação de vias e rotas, visando a redução de custos e de consumo de combustíveis (...)" ;

- e atender a preocupação da ENGEFER, empresa dedicada ao estudo, projeto e implantação de obras ferroviárias, no que se refere à qualidade e precisão dos projetos.

#### 1.2 - Descrição do Trabalho

O trabalho é desenvolvido em cinco capítulos e cinco apêndices cujos conteúdos descrevem-se a seguir:

No Capítulo II, é apresentada uma revisão bibliográfica relativa às metodologias de dimensionamento da superestrutura ferroviária e os principais elementos e esforços que atuam nesse sistema são descritos.

No Capítulo III, é apresentado o modelo matemático que formaliza o processo do dimensionamento do conjunto superestrutura ferroviária e camada final de terraplenagem. Esse modelo, associado a um algoritmo de resolução, proporciona a determinação dos valores das variáveis de decisão do dimensionamento que conduzem à configuração de menor custo total anual de investimento e manutenção para o conjunto superestrutura ferroviária e camada final de terraplenagem.

Para consolidar a aplicação desse modelo, no mesmo capítulo é formulado um procedimento para racionalização das etapas envolvidas no projeto desse conjunto. É recomendado um algoritmo assim como apresentado um programa de computador para aplicações práticas do modelo.

Para compreensão do mesmo e do procedimento, no Capítulo IV, são desenvolvidas duas aplicações práticas, sendo uma para trem metropolitano e outra para trem de carga.

No último capítulo apresentam-se as conclusões sobre o trabalho e, complementarmente, algumas sugestões e recomendações para futuros estudos.

Nos apêndices são apresentados a listagem e descrição do programa desenvolvido, a composição de custos unitários e a determinação da vida útil dos materiais empregados na aplicação prática.

## CAPÍTULO II

### A SUPERESTRUTURA FERROVIÁRIA

#### 2.1 - Considerações Gerais

Como pretende-se desenvolver um modelo para racionalização do dimensionamento do conjunto superestrutura ferroviária e camada final de terraplenagem com base nas teorias de distribuição de esforços e pressões do sistema, neste capítulo será apresentada uma revisão bibliográfica sucinta do tema "Dimensionamento da Superestrutura Ferroviária". Serão apresentadas algumas das mais importantes metodologias de cálculo em face de não se pretender esgotar o assunto como tampouco ser específico e detalhista na descrição daquelas.

Quanto a simbologia e unidades das equações apresentadas procurar-se-á manter a compatibilidade com a nomenclatura adotada na respectiva referência bibliográfica.

#### 2.2 - O Dimensionamento da Superestrutura

Inúmeras são as metodologias ou processos para o dimensionamento da superestrutura ferroviária. Formuladas a partir da análise teórica do sistema ou através da verificação prática ou experimental a diversidade dos resultados obtidos da aplicação dessas metodologias refletem o comportamento quasi-aleatório dos seus elementos.

Como pode-se verificar na prática o dimensionamento da superestrutura está dividido em duas fases distintas:

- a primeira consta da determinação dos esforços e reações que atuam no sub-conjunto trilho-dormente tais como o momento fletor que atua no trilho, a deformação provocada na grade e a pressão gerada na interface dos dormentes com o lastro;

- a segunda consta da determinação das pressões transmitidas às camadas subjacentes ao lastro e da verificação de que esses valores não ultrapassem as pressões máximas admissíveis pelos materiais de que são constituídas.

Apresentam-se a seguir os principais teorias e equações empregadas nessas duas fases do dimensionamento da superestrutura ferroviária.

#### 2.2.1 - Cálculo dos Esforços que Atuam na Via

A primeira tentativa para cálculo dos esforços que atuam na superestrutura da via surgiu com ZIMMERMANN<sup>1</sup>, no final do século passado, a partir da hipótese formulada por WINKLER<sup>1</sup> sobre a proporcionalidade existente entre a aplicação de uma pressão, P, e o respectivo recalque, y, traduzido pelo coeficiente de lastro, C, ou coeficiente de WINKLER, ou seja:

$$C = \frac{P}{y} \quad (1)$$

ZIMMERMANN<sup>1</sup> supõe em seu modelo que o trilho esteja repousado sobre uma viga longitudinal (dormente longitudinal) de largura  $b$  sobre apoios elásticos e discretos, espaçados uniformemente, sob a ação de uma carga pontual  $Q$ .

Alguns anos depois, TIMOSHENKO<sup>1</sup> com base nesse modelo inicial adaptou as expressões deduzidas por ZIMMERMANN para a situação de trilhos apoiados sobre dormentes transversais, estabelecendo a equivalência entre a área de apoio do dormente longitudinal e o transversal.

Essas novas expressões, são apresentadas a seguir:

. Momento Fletor do Trilho,  $M$

$$M = \frac{Q \cdot L}{4} \cdot e^{-\frac{x}{L}} \left[ \cos \frac{x}{L} - \sin \frac{x}{L} \right] \quad (2)$$

. Deformação Elástica da Via,  $y$

$$y = \frac{Q \cdot d}{2F_d \cdot C \cdot L} \cdot e^{-\frac{x}{L}} \left[ \cos \frac{x}{L} + \sin \frac{x}{L} \right] \quad (3)$$

. Pressão na Face Inferior do Dormente,  $P_o$

$$P_o = \frac{Q \cdot d}{2F_d \cdot L} \cdot e^{-\frac{x}{L}} \left[ \cos \frac{x}{L} + \sin \frac{x}{L} \right] \quad (4)$$

sendo

$d$  = o espaçamento entre eixos dos dormentes;

$F_d$  = a área sob um apoio do dormente;

$x$  = a distância das cargas vizinhas do ponto de aplicação da carga considerada;

$L$  = o comprimento da viga elástica;

sendo

$$L = \sqrt[4]{\frac{4EI_d}{C \cdot F_d}} \quad (5)$$

$E$  = o módulo de elasticidade do aço;

$I$  = o momento de inércia do trilho.

Ao final da segunda década deste século iniciaram-se os trabalhos de pesquisas e instrumentação da via do "Special Committee on Stresses in Railroad Track"<sup>2</sup>, sob a direção do Professor A.N. TALBOT para estudar o comportamento da superestrutura ferroviária.

TALBOT<sup>2</sup> iniciou os seus estudos a partir do levantamento do estado da arte. Tomando como base o modelo de Zimmermann da via sobre dormentes longitudinais e a expressão (1), TALBOT criou o conceito do Módulo da Via.

O Módulo da Via,  $U$ , representa a carga linear, uniformemente distribuída por unidade de comprimento,  $P$ , que atua sobre o trilho e que provoca um recalque,  $y$ , neste igual a um valor unitário de comprimento, ou seja:

$$U = \frac{P}{y} \quad (6)$$

Analogamente a Zimmermann, Talbot<sup>2</sup> deduziu as seguintes expressões:

Momento Fletor do Trilho, M

$$M = Q \cdot \sqrt[4]{\frac{E \cdot I}{64U}} \cdot e^{\frac{-x}{L}} \cdot \left[ \cos \frac{x}{L} - \sin \frac{x}{L} \right] \quad (7)$$

Deformação Elástica da Via, y

$$y = \frac{Q}{\sqrt[4]{64 E \cdot I \cdot U^3}} \cdot e^{\frac{-x}{L}} \cdot \left[ \cos \frac{x}{L} + \sin \frac{x}{L} \right] \quad (8)$$

Carga Distribuída sobre o Dormente,  $q_0$

$$q_0 = Q \cdot \sqrt[4]{\frac{U}{64 E \cdot I}} \cdot e^{\frac{-x}{L}} \cdot \left[ \cos \frac{x}{L} + \sin \frac{x}{L} \right] \quad (9)$$

estando L definido por:

$$L = \sqrt[4]{\frac{4E \cdot I}{U}} \quad (10)$$

Da equação (9) pode-se deduzir a pressão produzida na face inferior do dormente,  $p_0$ ,

$$p_0 = \frac{Q \cdot d}{F_d} \cdot \sqrt[4]{\frac{U}{64E \cdot I}} \cdot e^{\frac{-x}{L}} \cdot \left[ \cos \frac{x}{L} + \sin \frac{x}{L} \right] \quad (11)$$

## 2.2.2 - Dimensionamento do Lastro e Sub-Lastro

### 2.2.2.1 - Lastro

Na constituição da superestrutura da via o lastro responde por uma das mais importantes parcelas na função fundamental de distribuir os esforços e de estabelecer o grau de rigidez da via.

Por este papel significativo do comportamento do lastro, várias teorias com base nas mais diferentes correlações, quer estruturais, quer geotécnicas, foram elaboradas para explicar, através de modelos, a sua mecânica.

Alinhamp-se a seguir algumas das equações mais representativas para a avaliação da taxa de distribuição da pressão transmitida pelo lastro à camada subjacente a partir da pressão gerada na interface dormente-lastro.

SCHRAMM<sup>3</sup> admite que as pressões no lastro se propõem segundo uma linha de espraiamento inclinada a um ângulo  $\epsilon$  a partir do eixo vertical do plano vertical que secciona a via nos sentidos transversal e longitudinal. O valor de  $\epsilon$  é estabelecido segundo o tipo, estado e condições de umidade do lastro, sendo:

$$\epsilon = 40^\circ \text{ para lastro grosso, áspido e seco;}$$

$$\epsilon = 30^\circ \text{ para lastro fino, liso e úmido.}$$

Como valor médio é recomendado adotar  $\varepsilon = 36^\circ$ .

A pressão,  $P_h$ , transmitida pela altura  $h$  de lastro à plataforma, é uma função da carga máxima sobre um apoio do trilho,  $S$ , do comprimento  $L$ , e largura,  $b$ , do dormente e da distância entre eixos dos trilhos,  $s$ , e é dada pela expressão:

$$P_h = \frac{1,5S}{[3(L-s) + b]h + \tan \varepsilon} \quad (12)$$

A ÁREA<sup>4</sup> recomenda as seguintes equações para a determinação de pressão transmitida pelo lastro:

a) TALBOT

$$P_h = \frac{53,87 P_o}{h^{1,25}} \quad (13)$$

b) JAPAN NATIONAL RAILWAYS - J.N.R.

$$P_h = \frac{50 P_o}{10 + h^{1,35}} \quad (14)$$

c) BOUSSINESQ

$$P_h = \frac{3Q_o}{2\pi h^2} = \frac{0.477 Q_o}{h^2} \quad (15)$$

sendo  $Q_o$  a carga concentrada aplicada sobre meia tade do dormente.

d) LOVE

$$P_h = P_o \left[ 1 - \frac{1}{1 + \frac{r^2}{h^2}} \right]^{3/2} \quad (16)$$

sendo  $r$  o raio do círculo equivalente a área retangular efetiva de apoio do dormente sob um trilho, em cm.

Observação: as fórmulas (13) e (14) são válidas para unidades métricas.

EISENMANN<sup>5</sup> em sua teoria de distribuição de pressões em um sistema bicapa propõe para o cálculo da pressão sobre a plataforma a utilização da seguinte equação:

$$P_h = \frac{2P_o}{\pi} \left( \arctan \frac{a}{h} + \frac{a \cdot h}{a^2 + h^2} \right) \quad (17)$$

sendo  $a = \frac{b}{2}$  = semi-largura do dormente

$$h = 0,9 \times h_o \times \sqrt[3]{\frac{E_1}{E_2}} \quad (18)$$

onde  $h$  = altura equivalente do lastro devido a teoria do espaço elástico;

$h_o$  = altura efetiva de lastro;

$E_1$  e  $E_2$  - módulos de elasticidade do lastro  
e da fundação respectivamente.

#### 2.2.2.2 - Sub-lastro e Camada Final de Terraplenagem

O sub-lastro e camada final de terraplenagem constituem a fundação de toda a via permanente assente sobre maciço terroso. Considerada por muitos como o limite superior da infra-estrutura, a camada final de terraplenagem ou subleito, representa o componente de maior responsabilidade pelo sucesso do comportamento da superestrutura ferroviária.

A perfeita identificação das características geotécnicas e mecânicas do material a ser utilizado na confecção da camada final de terraplenagem e sub-lastro proporcionará um dimensionamento adequado do sistema fundação.

O tratamento a ser dado ao dimensionamento do sublastro será o mesmo da camada final de terraplenagem em face de suas semelhanças granulométricas e mecânicas.

##### . Determinação da Pressão Admissível

A determinação da pressão admissível dos materiais que compõem a camada final de terraplenagem e o sublastro pode ser feita com base em:

- ensaios triaxiais de carga cíclica;

- CBR;
- módulo de elasticidade.

A pressão admissível será determinada pelas corre  
lações estabelecidas por Heukelom<sup>6,7</sup>:

$$\sigma_p = \frac{0.006 \text{ Ed}}{1 + 0.7 \text{ Log } N} \quad (19)$$

sendo

$$\text{Ed} = 100 \text{ CBR} \quad (20)$$

onde

$\sigma_p$  - a pressão admissível do material;

Ed - o módulo de elasticidade dinâmico do material e

N - o número de toneladas brutas anuais<sup>5</sup>.

OBS: Eisemmann<sup>1,8</sup> adota N = 2 . 10<sup>6</sup>

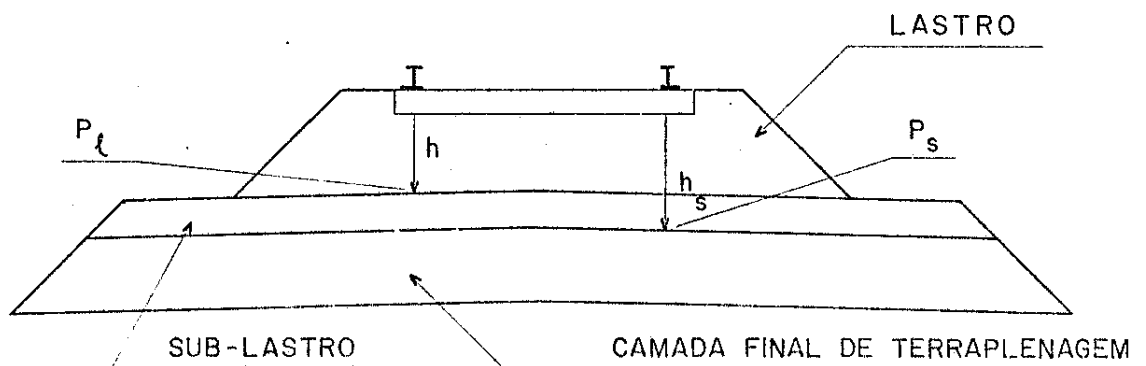
#### Distribuição dos Esforços na Fundação

Várias teorias da mecânica dos solos podem ser aplicadas ao estudo da distribuição dos esforços na fundação da superestrutura. Em particular pode-se adotar a Teoria Elástica de Boussinesq<sup>9</sup> para a avaliação das pressões geradas ao longo do conjunto formado pelo sub-lastro e camada final de terraplenagem.

Esta teoria quando aplicada a este caso assume que o conjunto seja um espaço semi-infinito, elástico, homogêneo e isótropo solicitado por uma pressão transmitida por uma camada de lastro de altura  $h$ .

Assim tem-se, conforme mostrado na Figura 1, uma pressão  $P_l$  atuando a uma profundidade  $h$  sobre o sub-lastro e outra  $P_s$  solicitando a camada final de terraplenagem a uma profundidade  $h_s$  da mesma origem.

Figura 1: Pressões geradas pelo lastro nas camadas subjacentes



Aplicando-se a Teoria Elástica de Boussinesq obtém-se a seguinte relação:

$$\frac{P_l}{P_s} = \frac{h_s^2}{h^2} \quad (21)$$

Admitindo-se que as pressões geradas sejam equi-

valentes às admissíveis pelos extratos subjacentes e adoptando-se a formulação de Heukelom<sup>6,7</sup> obtém-se:

$$P_{\ell} = \sigma_{p_s} \quad (22)$$

e

$$P_s = \sigma_{p_{cft}} \quad (23)$$

sendo

$\sigma_{p_s}$  = pressão admissível do sub-lastro e

$\sigma_{p_{cft}}$  = pressão admissível da camada final de terraplenagem.

Como para a determinação da pressão admissível do sub-lastro e da camada final de terraplenagem o valor de  $N$  é o mesmo, a relação  $P_{\ell}/P_s$  pode ser escrita como:

$$\frac{CBR_s}{CBR_{cft}} = \frac{h_s^2}{h^2} \quad (24)$$

sendo

$CBR_s$  - o índice suporte do sub-lastro e

$CBR_{cft}$  - o índice suporte da camada final de terraplenagem.

### 2.3 - Considerações Finais

Sobre o tema Superestrutura Ferroviária vale ressaltar os seguintes comentários:

• o estado da arte da superestrutura da via está fundamentada em estudos e pesquisas realizadas essencialmente em ferrovias de bitola normal (1435 mm).

• todas as teorias e equações representativas do comportamento da superestrutura da via são formuladas a partir de hipóteses ideais para caracterizar o sistema. Os valores obtidos da aplicação dessas teorias não são medidas exatas dos eventos que se está avaliando sendo, no entanto, suficientemente válidos para representar o comportamento mecânico do sistema.

## CAPÍTULO III

### O MODELO

#### 3.1 - Considerações Preliminares

Como foi mencionado no Capítulo I o meio técnico carece de um instrumento racional que lhe permita otimizar o dimensionamento do conjunto superestrutura ferroviária e camada final de terraplenagem com base na associação dos aspectos técnicos aos econômicos envolvidos nesse processo.

Por otimização do dimensionamento desse conjunto entende-se aquele que, além de satisfazer restrições que dizem respeito às condições técnicas impostas para o projeto, proporcione a minimização do custo total anual por unidade de comprimento,  $C_t$ , relativo ao investimento e manutenção dos materiais e serviços que o compõem.

Será objetivo deste capítulo formular um modelo matemático representativo do dimensionamento do conjunto superestrutura ferroviária e camada final de terraplenagem que, associado a um procedimento de racionalização das etapas envolvidas nesse trabalho, permita ao projetista determinar a configuração de menor custo total anual a partir da representação analítica da função custo desejada. Para a consecução desse objetivo torna-se necessário que as variáveis de decisão e as condições de contorno que modelam o dimensionamento sejam identificadas e equacionadas.

### 3.2 - O Modelo

#### 3.2.1 - Variáveis de Decisão

A função custo a ser otimizada dependerá de variáveis independentes chamadas de decisão. Como pretende-se formular o modelo a partir das teorias de esforços e pressões no sistema e independente da metodologia empregada, foram escolhidos como variáveis de decisão os seguintes parametros:

- . espaçamento dos dormentes ( $d$ ): medida entre eixos de dois dormentes consecutivos;
- . área de apoio do dormente ( $F_d$ ): área pela qual é transmitida ao lastro as pressões geradas pelo carregamento;
- . capacidade de suporte da fundação (CBR): índice que caracteriza a capacidade de suporte dos materiais das camadas final de terraplenagem e sub-lastro.

A decisão recaiu nessas variáveis por elas serem comuns a todas as metodologias apresentadas no Capítulo II, por serem variáveis básicas do dimensionamento e fundamentalmente por influenciarem diretamente no custo anual dos materiais e serviços.

#### 3.2.2 - Condições de Contorno

As condições de contorno que regulam o dimensionam

mento do conjunto superestrutura ferroviária e camada final de terraplenagem podem ser classificadas em:

- . Restrições Mecânicas - aquelas que caracterizam o comportamento mecânico do sistema em termos de distribuição de esforços e,

- . Restrições Estruturais - aquelas que definem estruturalmente a configuração do sistema de assentamento lastro/sub-lastro/camada final de terraplenagem.

Apresentam-se a seguir as principais condições de contorno que intervêm no dimensionamento da via.

- . Restrições Mecânicas

A pressão atuante sob o dormente, é função de diversas variáveis e, como pode ser visto no Capítulo II, ela pode ser representada, independendo da metodologia empregada por

$$P_o = g (Q_d, d, F_d, C, E, I) \quad (25)$$

sendo

$$Q_d = f (Q_i, k, \mu i) \quad (26)$$

onde

$Q_d$  = carga dinâmica por roda;

$Q_i$  = carga estática, por roda, de ordem  $i$  do trem-tipo de projeto;

$k$  = coeficiente de impacto dinâmico determinado a partir da velocidade máxima operacional;

$\mu_i$  = hiperestático referente a posição da carga  $i$ ;

$C$  = coeficiente de lastro ou módulo de via ( $U$ );

$E$  = módulo de elasticidade do aço;

$I$  = momento de inércia do trilho.

Como para cada alternativa a ser estudada os parâmetros  $Q_d$ ,  $C$ ,  $E$  e  $I$  são pré-estabelecidos tem-se:

$$P_o = g(d, F_d) \quad (27)$$

onde  $g$  expressa a relação existente entre  $P_o$  e  $d$  e  $F_d$ .

A pressão sob o lastro também é função de duas variáveis, podendo ser representada em termos gerais por:

$$P_h = p(P_o, h) \quad (28)$$

A pressão admissível  $\sigma_p$  do sub-lastro pode ser expressa por uma relação do tipo:

$$\sigma_p = q(CBR) \quad (29)$$

Como o dimensionamento será feito de modo que as pressões transmitidas nas interfaces sejam iguais as admisíveis pelas camadas subjacentes deve-se ter:

$$P_h = \sigma_p \quad (30)$$

de onde de (28), (27) e (29)

$$P_h = q \text{ (CBR)} \quad (31)$$

A deflexão de grade é função direta de  $P_o$ , isto é:

$$D_g = r(P_o) \quad (32)$$

$$\text{ou de (27)} \quad D_g = s(d, F_d) \quad (33)$$

#### Restrições Estruturais

A altura do lastro satisfaz uma relação do tipo

$$h = w(P_o, P_h) \quad (34)$$

ou por (27) e (31)

$$h = v(d, F_d, \text{CBR}) \quad (35)$$

e a altura do sub-lastro uma do tipo

$$H_s = t(P_h, \sigma_p, h) \quad (36)$$

ou de (28), (29) e (35)

$$H_s = m(d, F_d, \text{CBR}) \quad (37)$$

sendo que  $\sigma_p$  e CBR neste caso representam a pressão

admissível e a capacidade de suporte da camada final de terraplenagem, respectivamente.

Comprova-se pela descrição das condições de contorno dadas por (27), (29), (31), (33) e (35) a dependência destas com as variáveis de decisão escolhidas no item anterior.

### 3.2.3 - Estrutura do Modelo

O objetivo do modelo será atingido então, se for possível determinar o conjunto de valores  $d$ ,  $F_d$  e CBR, dentro dos seus domínios de validade definidos pela prática, características do material ou ensaios de laboratório, que minimizam uma função custo total anual.

O problema então consiste em determinar  $\{d_o, F_{d_o}, CBR_o\}$  tal que

$$C_t(d_o, F_{d_o}, CBR_o) = \sum_m \left[ C_m(d_o, F_{d_o}, CBR_o) \cdot X_m(d_o, F_{d_o}, CBR_o) \right] \quad (38)$$

seja mínimo para  $d_o$ ,  $F_{d_o}$  e  $CBR_o$  dentro dos respectivos domínios de  $d$ ,  $F_d$  e CBR.

sendo

$C_m(d, F_d, CBR) =$  custo anual por unidade de comprimento relativo ao material ou serviço  $m$  da infra ou superestrutura;

$x_m(d, F_d, CBR)$  = quantidade do elemento  $m$  por unidade de comprimento de via.

e satisfazendo-se as seguintes restrições:

$$P_0 \leq \epsilon, \quad (39)$$

$$\delta_1 \leq h \leq \delta_2 \quad (40)$$

$$D_g \leq \omega \quad (41)$$

onde  $\epsilon$ ,  $\delta_1$ ,  $\delta_2$  e  $\omega$  são os limites aceitáveis para a pressão transmitida ao lastro, para a variação da altura do mesmo e para a deflexão máxima da grade respectivamente.

As expressões (39), (40) e (41) devem ser substituídas pelas definições (27), (35) e (33).

Cabe ressaltar que cada uma das parcelas constitutivas da função custo total anual deve ser analiticamente expressa como função das variáveis de decisão. Como tal representação depende do projeto considerado esta etapa ficará bem compreendida com os exemplos apresentados no Capítulo seguinte.

Convém observar que os limites impostos às condições de contorno ( $\epsilon$ ,  $\delta_1$ ,  $\delta_2$  e  $\omega$ ), serão fixados pelo projetista ou planejador em função de normas, recomendações técnicas ou mesmo da própria experiência pessoal advinda do acompanhamento do comportamento da via em projetos se-

melhantes.

Finalmente deve ser observado também que a representação analítica das restrições (27), (35) e (33) depende da escolha por parte do projetista da metodologia a ser empregada.

### 3.2.4 - Algoritmo Numéricico

Dependendo do projeto em questão e das metodologias empregadas, a função custo assume uma ou outra representação analítica, mas pode-se esperar que a mesma dependa não linearmente das variáveis de decisão. Por outro lado estas variáveis deverão satisfazer restrições do tipo (39), (40) e (41).

Por estes dois fatores e decorrente do fato de se ter disponível um programa em linguagem Fortran<sup>10</sup>, que poderia vir a ser empregado depois de sofrer algumas modificações, foi escolhido o Método das Penalidades associado a um processo de busca direta de Hooke e Jeeves para resolver numericamente qualquer aplicação do modelo descrito.

De fato este método só pode ser empregado se a função objetivo a ser otimizada for unimodal, isto é, se a mesma apresentar um único mínimo no campo de variação dos domínios das variáveis. Sendo a função custo relação de três variáveis independentes, muitas vezes torna-se difícil poder mostrar que esta propriedade é satisfeita. Caso

isto não possa ser demonstrado ou analiticamente ou geométricamente, uma forma de solucionar esta deficiência seria aplicar o algoritmo escolhendo pontos de partida espalhados no campo de variação dos domínios das variáveis. Se o processo convergir para um mesmo ponto poder-se-ia ter a certeza da unimodalidade, caso contrário divide-se o campo em vários sub-campos de variação e onde a função se apresentar unimodal, otimiza-se a mesma em cada um deles e escolhe-se como resultado ótimo aquele que der o menor custo.

#### 3.2.4.1 - Método das Penalidades

O Método das Penalidades<sup>10,11</sup>, converte a função objetivo original e suas restrições em uma função auxiliar denominada função resposta através da conjugação de uma função formada pelas restrições existentes, chamada penalidade, e a função objetivo inicial.

À essa nova função objetivo é aplicado o processo de busca direta de Hooke e Jeeves<sup>10,11</sup>, para a determinação dos valores das variáveis de decisão do problema que a minimizam dentro da região viável definida pela restrições impostas à função original.

#### 3.2.4.2 - O Programa Penal

O Programa Penal é elaborado a partir do programa de referência (10) para aplicação do modelo desenvolvi-

do para a racionalização do dimensionamento do conjunto superestruturada ferroviária e camada final de terraplenagem.

Tendo em vista que o programa original foi concebido para a otimização de funções compostas de elementos homogêneos, isto é, variáveis de mesma natureza, várias adaptações se fizeram necessárias para sua utilização específica neste trabalho.

Nos Apêndices A e B são apresentados a listagem do programa fonte, a estrutura do programa e as instruções para sua utilização.

### 3.3 - O Procedimento

Considerando que a aplicação do modelo desenvolvido é uma atividade meio dentro do processo de dimensionamento do conjunto superestrutura ferroviária e camada final de terraplenagem, faz-se necessário a implementação de um procedimento de caráter amplo que contribua para a racionalização das demais atividades que caracterizam esse processo.

Este procedimento está subdividido nas seguintes etapas:

- identificação das condicionantes básicas do projeto;

- análise das disponibilidades de mercado;
- identificação das disponibilidades do sítio de projeto;
- estabelecimento das condições iniciais;
- seleção das metodologias;
- elaboração das alternativas;
- aplicação do modelo;
- avaliação dos resultados

As três primeiras etapas representam a análise e caracterização do problema a ser estudado. As duas seguintes representam as hipóteses a serem consideradas, ou seja, são estabelecidas premissas básicas e são selecionadas as metodologias que permitirão avaliar as diversas alternativas. As demais interagem com as outras segundo a sistemática do procedimento apresentado no fluxograma da Figura 2.

O procedimento poderá ser aplicado nas seguintes fases do projeto de engenharia segundo a disponibilidades dos dados em cada etapa:

- anteprojeto;
- projeto básico;
- projeto executivo.

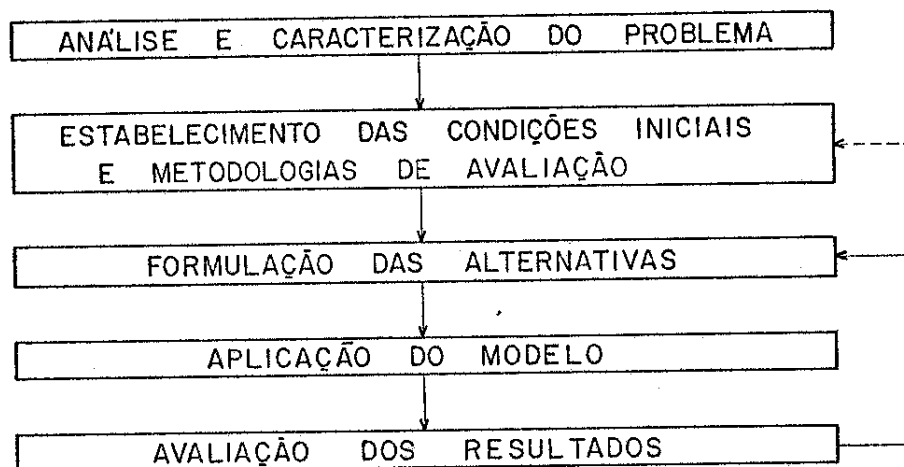


Figura 2: Fluxograma do Procedimento

### 3.3.1 - Identificação das Condicionantes Básicas do Projeto

to

Esta etapa se constitui da identificação dos parâmetros ou características estabelecidas para o projeto que sejam de importância para o dimensionamento do conjunto superestrutura ferroviária e camada final de terraplenagem.

Tais condicionantes são:

- volume bruto anual de transporte;
- natureza do transporte;
- carga por eixo do veículo tipo;
- velocidade máxima operacional;
- descrição plani-altimétrica do traçado;
- tipo da bitola.

### 3.3.2 - Análise das Disponibilidades de Mercado

Por meio de uma pesquisa de mercado devem ser levantadas as disponibilidades do mesmo quanto a trilhos, dormentes, fixações e outros materiais acessórios, no que se refere a tipos, características técnicas, custos de aquisição, custos de transporte, custo de implantação e demais serviços.

### 3.3.3 - Identificação das Disponibilidades do Sítio de Implantação

Com base nos dados coligidos dos estudos geológicos e geotécnicos sobre os materiais em disponibilidade no sítio de projeto deverão ser identificados e selecionados aqueles que atendendo às especificações técnicas do projeto (CBR, Los Angeles, Limites de Attemberg e outros) possam ser utilizados na confecção da:

- camada final de terraplenagem;
- sub-lastro;
- lastro.

Procedida a seleção deverão ser estimados os custos de escavação, carga, transporte e execução para cada tipo de material.

### 3.3.4 - Estabelecimento das Condições Iniciais

Nesta etapa o projetista deverá estabelecer as con

dições iniciais para o dimensionamento otimizado procedendo a determinação dos seguintes elementos:

- perfil comercial mínimo do trilho que atenda a carga dimensionante;
- tipos de dormentes e respectivas faixas de variação da área de apoio que poderão ser adotados na configuração da superestrutura;
- custo de oportunidade do capital para a avaliação dos custos anuais de cada material ou serviço;
- coeficiente de lastro ou módulo da via estimado para a configuração do conjunto superestrutura ferroviária e camada final de terraplenagem;
- seção transversal tipo de projeto para cortes e aterros;
- altura mínima do sub-lastro a ser considerada para fins de construção;
- coeficiente de impacto para majoração da carga estática.

### 3.3.5 - Seleção das Metodologias

Como se fez ver no Capítulo II várias metodologias podem ser utilizadas para dimensionar os esforços e elementos do conjunto superestrutura ferroviária e camada final de terraplenagem. Nesta etapa deve ser realizada a seleção

da metodologia que será empregada no dimensionamento do conjunto assim como a metodologia para a determinação do custo anual e avaliação da vida útil dos materiais e serviços.

### 3.3.6 - Elaboração das Alternativas

Esta etapa se caracteriza pela definição das restrições que serão impostas a alguns parâmetros de decisão e as condições de contorno que modelam cada alternativa a ensaiar. Estas são responsáveis pela adequação dos resultados obtidos ao padrão de qualidade estabelecido para o projeto como um todo. Assim, em conformidade com o tipo de transporte que o projeto destina-se a atender, essas restrições serão estabelecidas de acordo com as razões descritas na apresentação do modelo.

### 3.3.7 - Aplicação do Modelo

Selecionadas as metodologias conforme o item 3.3.5, as condições de contorno e a função de custo total anual são explicitamente definidas em relação às variáveis de decisão e o problema então é numericamente resolvido com o auxílio do programa PENAL.

### 3.3.8 - Avaliação dos Resultados

Obtidos os resultados que caracterizam a configuração de mínimo custo total anual o projetista passa à etapa de avaliação da alternativa ensaiada. Tendo em vista que

este procedimento de racionalização tem caráter iterativo outras alternativas poderão ser formuladas a partir da primeira através da redefinição das restrições impostas, selecão de outras metodologias de dimensionamento e até mesmo do estabelecimento de novas constantes de inicialização do ensaio.

## CAPÍTULO IV

### APLICAÇÃO PRÁTICA

#### 4.1 - Considerações Preliminares

Com o intuito de ilustrar a sistemática do procedimento e do modelo desenvolvidos, foram elaborados dois exemplos práticos aplicados a dois tipos de ferrovias (transporte metropolitano e de carga), cujos sítios de implantação localizam-se em regiões distintas do País.

Os dados do projeto, bem como as disponibilidades dos sítios de implantação e de mercado, são hipotéticos. Os custos unitários apresentados nos Apêndices C e D referentes aos materiais e serviços utilizados nos exemplos, foram estimados com base em preços de mercado de julho de 1983.

#### 4.2 - Desenvolvimento dos Exemplos

##### 4.2.1 - Trem Metropolitano

Pretende-se aplicar o procedimento e o modelo de racionalização desenvolvidos neste trabalho para dimensionar o conjunto superestrutura ferroviária e camada final de terraplenagem de um trecho a ser implantado para operação de trens metropolitanos. Com esta finalidade e de posse das especificações do projeto as etapas defini-

das no item 3.3 serão detalhadas.

#### 4.2.1.1 - Identificação das Condicionantes Básica do Projeto

As condicionantes básicas do projeto podem ser classificadas em características operacionais e de traçado.

As características operacionais do projeto são apresentadas no Quadro 1.

QUADRO 1: Características Operacionais

Volume Anual de Tráfego	12 MTB
Velocidade Operacional Máxima	80 km/h
Trem/Tipo	4 carros (TUE)
Carga por eixo	20 t
Bitola	1.60 m

A descrição dos dados planimétricos e altimétricos do traçado, tais como as faixas de variação dos raios de curvatura, declividades do greide de projeto e respectivas extensões, encontram-se apresentados nos Quadros 2 e 3.

QUADRO 2: Características Planimétricas

Variação do Raio em m	Extensão Total do Trecho em m
3492	5606
499 - 388	1150
388 - 317	755
317 - 268	1084
268 - 233	4564
Extensão Total	13159

QUADRO 3: Características Altimétricas

Variação da Rampa em %	Extensão Total do Trecho em m
0.0 - 0.5	1927
0.5 - 1.0	1897
1.0 - 1.5	7015
1.5 - 2.0	2320

## 4.2.1.2 - Identificação das Disponibilidades de Mercado

Por meio de uma pesquisa foram levantados os tipos de trilhos, dormentes e fixações disponíveis para a

compra no mercado e que satisfaçam a condições básicas do projeto, bem como quantificados os custos unitários de aquisição e de transporte para o sítio de implantação. Pela extensão do material coletado os dados levantados não serão apresentados.

#### 4.2.1.3 - Identificação das Disponibilidades do Sítio de Projeto

Com base nos estudos geológicos e geotécnicos do sítio de implantação, selecionaram-se dois dos materiais ensaiados que atendem às especificações do projeto para utilização como sub-lastro. As características desses e do material escolhido para a camada final de terraplenagem encontram-se especificadas no Quadro 4.

QUADRO 4: Características dos Materiais Selecionados para a Camada Final de Terraplenagem e Sub-lastro

Tipo	CBR
Camada Final de Terraplenagem	12
Sub-lastro I	22
Sub-lastro II	28

#### 4.2.1.4 - Estabelecimento das Condições Iniciais

Foram estabelecidas as seguintes condições:

- utilização de trilhos TR 57 de Aço Carbono fabricado pela CSN;

- dormentes com as seguintes especificações para a variação da área de um apoio

$(1920 \leq F_d \leq 2250) \text{cm}^2$  para dormentes de madeira,

$(2250 \leq F_d \leq 2500) \text{cm}^2$  para dormentes de concreto bi-bloco e

$(2500 \leq F_d \leq 3000) \text{cm}^2$  para dormentes de concreto monobloco;

- taxa de mercado para o custo de oportunidade do capital de 15% a.a.;

- coeficiente de lastro estimado em  $10 \text{ kg/cm}^3$ ;

- altura mínima de 10 cm para o sub-lastro devendo a restrições construtivas;

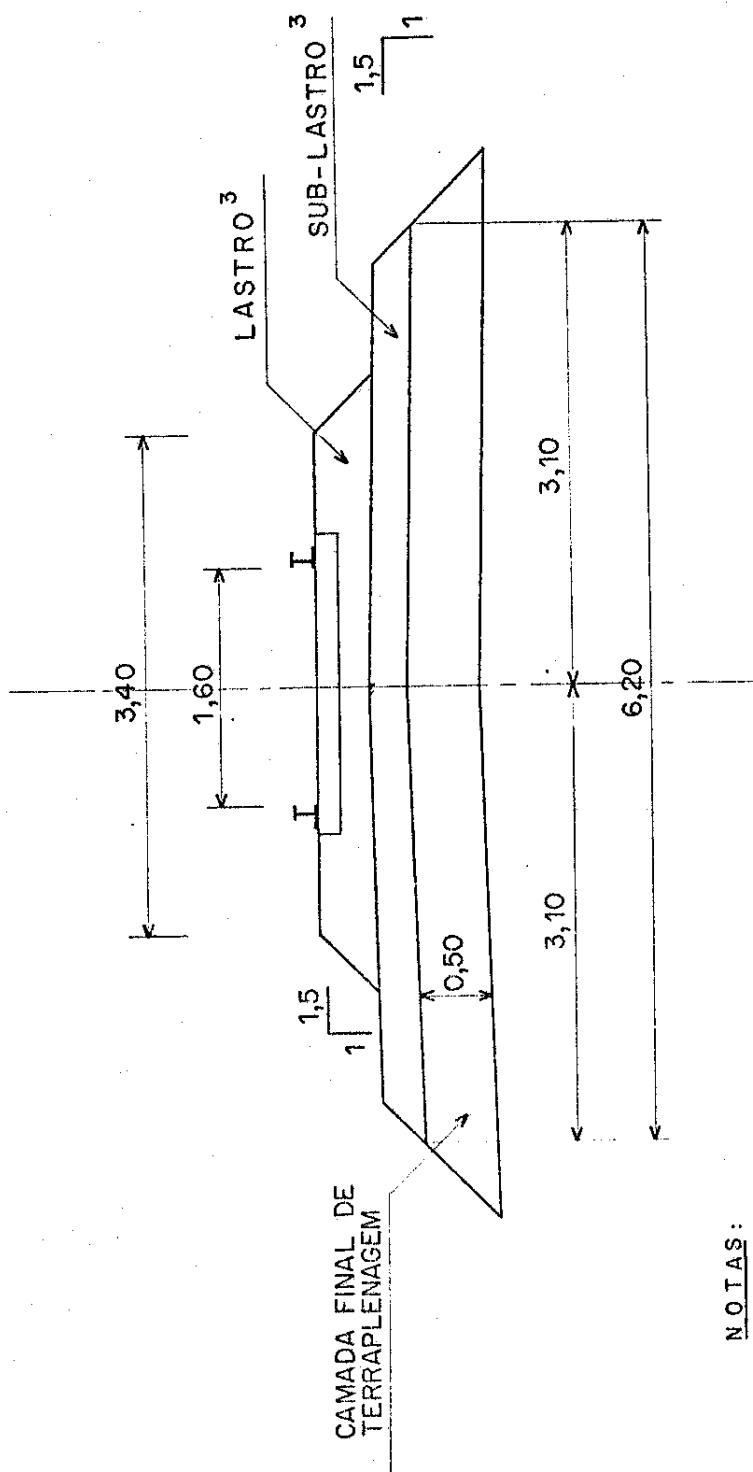
- coeficiente de impacto igual a 2;

- seção transversal tipo segundo a Figura 3.

#### 4.2.1.5 - Seleção das Metodologias

##### . Função Custo Total Anual

A metodologia escolhida que permitirá a formula-

NOTAS:

- ① FIGURA ESQUEMÁTICA
- ② MEDIDAS EM METROS
- ③ ALTURA A SER DETERMINADA

SEÇÃO TRANSVERSAL TIPO — TREM METROPOLITANO

FIGURA 3: Seção Transversal Tipo — Trem Metropolitano

ção da função custo total anual dos materiais e serviços será a desenvolvida por Rodrigues<sup>12</sup>.

Essa metodologia estima o custo total anual da superestrutura ferroviária a partir dos seus dispêndios mais relevantes determinados em função da vida útil dos materiais e serviços que o compõem.

A vida útil desses materiais e serviços é avaliada em função das características da via e operação, peculiares a cada trecho ferroviário, a partir de um produto de constantes  $K_i$  que quantificam a influência dos seguintes parâmetros: carga por eixo, velocidade operacional, geometria plani-altimétrica, trem-tipo e bitola.

Como a metodologia é flexível quanto a sua utilização procedeu-se a algumas adaptações na composição das parcelas relativas a infra e superestrutura.

Tendo em vista que se pretende determinar a configuração de custo mínimo a partir dos materiais e serviços essenciais a implantação do conjunto superestrutura ferroviária e camada final de terraplenagem, alguns itens considerados complementares, como por exemplo, a capina química, aparelhos de mudança de via e outros, não foram incluídos na função custo total.

Por outro lado, julgando-se conveniente, inclu-

iu-se uma parcela relativa a materiais e serviços não convencionais tais como imprimação, geotêxteis e outros.

#### Dimensionamento Estrutural

Para o dimensionamento estrutural serão consideradas as três composições de metodologias adotadas nas versões do programa Penal conforme o Apêndice B.

QUADRO 5: Versões do Programa PENAL

Denominação	Metodologias Empregadas	
PENAL 1	Zimmermann	(4)
	J.N.R.	(14)
PENAL 2	Heukelom	(19), (20)
	Zimmermann	(4)
PENAL 3	Love	(16)
	Heukelom	(19), (20)
	Talbot	(11), (13)
	Heukelom	(19), (20)

#### 4.2.1.6 - Elaboração das Alternativas

Complementando os dados necessários a caracterização da alternativa base a ser ensaiada definem-se as restrições que deverão ser impostas ao dimensionamento pa

ra atender ao padrão de qualidade estabelecido para o projeto.

Uma alternativa para o projeto em questão se traduz com as seguintes restrições:

- o espaçamento dos dormentes deve variar entre

$$50\text{cm} \leq d \leq 60\text{ cm}$$

- a pressão admissível sob o dormente não deve exceder

$$P_0 \leq 3.5 \text{ kg/cm}^2$$

- a altura do lastro deve variar entre os seguintes limites

$$25\text{ cm} \leq h \leq 30\text{ cm}$$

- e a deflexão máxima admissível para a grade deve ser

$$D_g \leq 0.635\text{ cm}$$

Apresenta-se no Quadro 6 estas informações de caracterização da alternativa na formatação do arquivo de dados Penalin

#### 4.2.1.7 - Aplicação do Modelo

Para a resolução numérica do modelo é necessário

QUADRO 6: Dados de Entrada - PENALIN

	TESE DE MESTRADO	-	IME	-	TRANSPORTE FERROVIÁRIO
200	3	0.1	.1		
300	50.	50.	60.		
400	1920.	1920.	3000.		
500	12.	12.	28.		
600	20000.	57.		2730	12000000
700	9.	0.15			
800	1.5	1.5	1.5	2	0.5
900	10.	2100000.	3.40	6.2	22.
1000	2250.	2500.			
1100	269370.	15000000.	0.	12525.	7960.
1200	4750.	4500.	3200.	17170.	20280.
1300			4900.	3064600.	
1400	26.	3.8	0.	10.6	18.8
1500	30.	44.2	30.	25.	
1600	3.5	25.	30.	0.635	

explicitar a função custo assim como as condições de contorno de acordo com as metodologias escolhidas.

#### . Função Custo Total Anual

A função de Custo Total Anual,  $C_t$ , relativa à materiais e serviços pode ser decomposta em duas parcelas

$$C_t = CI + CS \quad (42)$$

onde (CI) e (CS) representam os custos anuais relativos a materiais e serviços referentes a Infra e Superestrutura respectivamente.

Por sua vez o Custo Anual da Infraestrutura pode se decompor assim:

$$CI = \sum_{i=1}^3 CI_i \quad (43)$$

sendo

$CI_1$ ,  $CI_2$  e  $CI_3$  os custos anuais de investimento na camada final de terraplenagem, sublastro e serviços não convencionais respectivamente.

Cada uma dessas parcelas é apresentada a seguir conforme a metodologia escolhida:

$$CI_1 = C_1 \cdot V_1 \cdot FRC(i, n) \quad (44)$$

onde

$C_1$  = custo unitário da camada final de terraplenagem por  $m^3$

$V_1$  = volume por  $m$

$$V_1 = H_c \cdot B_1 \quad (45)$$

$H_c$  = altura da camada final de terraplenagem

$B_1$  = base média

$FRC(i, n)$  = fator de recuperação de capital

$$FRC(i, n) = \frac{i(1 + i)^n}{(1 + i)^n - 1} = FRC_n \quad (46)$$

$i$  = custo de oportunidade do capital

$n$  = vida útil do material ou serviço

$$CI_2 = C_2 \cdot V_2 \cdot FRC(i, n) \quad (47)$$

onde

$C_2$  = custo unitário do sub-lastro por  $m^3$

$V_2$  = volume por  $m$

$$V_2 = H_s \cdot B_2 \quad (48)$$

sendo a altura do sub-lastro  $H_s = H_s(CBR)$  a partir de (21) e (24), como pode ser deduzido.

$B_2$  = base média

$$e \quad CI_3 = ISNC \cdot FRC (i, n) \quad (49)$$

sendo

ISNC = investimento em materiais e serviços não convencionais.

Por outro lado o Custo Anual de Superestrutura pode se de compor como segue:

$$CS = \sum_{j=1}^6 CS_j \quad (50)$$

sendo

$CS_1$  = custo anual do trilho;

$CS_2$  = custo anual do dormiente;

$CS_3$  = custo anual do nivelamento, alinhamento e socaria;

$CS_4$  = custo anual do lastro;

$CS_5$  = custo anual de outros materiais;

$CS_6$  = custo anual dos outros serviços de manutenção da superestrutura.

Cada uma dessas parcelas pode ser representada se gundo a metodologia empregada, como segue:

$$CS_1 = 1,12 (C_3 + 2P + C_4) \cdot FRC (i, n) \quad (51)$$

onde

$C_3$  = custo unitário do trilho por t

$p$  = peso do trilho em kg/m

$C_4$  = custo de soldas por km

$$CS_2 = C_5 \cdot N_d \cdot FRC(i, n) \quad (52)$$

onde

$C_5$  = custo unitário do dormente

$N_d$  = nº de dormentes por km, sendo

$$N_d = 10^6 / d \quad (53)$$

$$CS_3 = 1.12 \cdot CNA \cdot FRC(i, n) \quad (54)$$

onde

CNA = custo dos alinhamentos, nivelamento e socaria por km

$$CS_4 = C_6 \cdot V_3 \cdot FRC(i, n) \quad (55)$$

onde

$C_6$  = custo unitário do lastro por  $m^3$

$V_3$  = volume por m

$$V_3 = h \cdot B_3 \quad (56)$$

sendo a altura  $h = h(d, F_d, CBR)$  como pode ser mostrado na equação (34) e (35). A formulação final será apresentada com a formalização das condições de contorno.

$B_3$  = base média

$$CS_5 = IMS \cdot FRC(i,n) \quad (57)$$

onde  $IMS$  = investimento em materiais e serviços

$$\text{e} \quad CS_6 = 0.08 \sum_{i=1}^5 CS_i \quad (58)$$

Assim a função Custo Anual será representada por:

$$\begin{aligned} C_t &= C_1 \cdot H_C \cdot B_1 \cdot FRC_1 + \underline{C_2 \cdot H_S (CBR) \cdot B_2 \cdot FRC_2} + \\ &+ ISNC \cdot FRC_3 + 1,08 \left[ 1.12(C_3 \cdot 2P + C_4) FRC_4 + \underline{C_5 \cdot 10^6/d} \right. \\ &\cdot \underline{FRC_5 + 1.12 CNA \cdot FRC_6 + C_6 \cdot h(d, F_d, CBR) \cdot B_3 \cdot FRC_7} \\ &\left. + IMS \cdot FRC_8 \right] \end{aligned} \quad (59)$$

As parcelas sublinhadas são aquelas que dependem diretamente das variáveis de decisão. Para se determinar o mínimo de  $C_t$  basta minimizar o somatório dessas três parcelas.

. Condições de Contorno

Como as condições de contorno definidas no item 3.2.2 se referem às restrições que deverão ser satisfeitas por  $P_o$ ,  $h$  e  $D_g$ , estas deverão ser descritas em função das variáveis de decisão.

Procede-se à descrição destas condições de contorno a uma das três composições de metodologias selecionadas no item 4.2.1.5.

Tem-se então aplicando-se as teorias de Zimmermann<sup>1</sup>, J.N.R<sup>4</sup> e Heukelom<sup>6,7</sup>:

. Empregando (4) a pressão  $P_o$  será dada por

$$P_o = \frac{Q}{2.828} \cdot \sqrt[4]{\frac{C}{EI} \cdot \left(\frac{d}{F_d}\right)^3} \quad (60)$$

. Explicitando  $h$  em (14), satisfazendo a condição de equilíbrio definida por (30) e (31) em (19) e (20) obtém-se a seguinte expressão para a altura do lastro

$$h = \left[ \frac{83.33 P_o (1 + 0.7 \log N)}{CBR} - 10 \right]^{0.741} \quad (61)$$

Substituindo (60) em (61)  $h$  será dado por

$$h = \left[ \frac{29.47 Q (1+0.7 \log N)}{CBR} \cdot \sqrt[4]{\frac{C}{EI} \cdot \left(\frac{d}{F_d}\right)^3} - 10 \right]^{0.741} \quad (62)$$

. De (3) a deflexão da grade  $D_g$  é

$$D_g = \frac{Q}{2.828} \cdot \sqrt[4]{\frac{I}{EIC^3} \cdot \left(\frac{d}{F_d}\right)^3} \quad (63)$$

Da aplicação do modelo por meio do programa Penal são obtidos os resultados para a configuração de menor custo apresentados nos Quadros 7, 8 e 9.

#### 4.2.1.8 - Avaliação dos Resultados

De posse desses resultados, novas alternativas poderão ser formuladas e ensaiadas. Como exemplos de modificações que podem ser processadas na alternativa base para avaliação de outras configurações de custo total anual mínimo, alinharam-se:

- substituição do material selecionado para a camada final de terraplenagem por outro de igual disponibilidade, mas de CBR diferente;
- o mesmo procedimento em relação aos materiais para sub-lastro;
- adoção de um perfil de trilho maior do que o mínimo necessário;
- utilização de dormentes com especificações de áreas de apoio diferentes;

QUADRO 7 : Resultados - PENAL 1

---

TESE DE MESTRADO - IME - TRANSPORTE FERROVIÁRIO

VALORES ÓTIMOS DAS VARIÁVEIS INDEPENDENTES

$$D = 60.$$

$$FD = 3000.$$

$$CBR = 12.$$

NÚMERO DE ITERAÇÕES 51

CUSTO TOTAL ANUAL Cr\$ 22945967.813 POR KM

VALOR DO INVESTIMENTO = Cr\$ 115053139.600 POR KM

RESULTADOSPRESSÃO SOB OS DORMENTES 2.43 KG/CM<sup>2</sup>

ALTURA DO LASTRO 29. CM

ALTURA DO SUBLASTRO 0. CM

DEFLEXÃO DA GRADE 0.243 CM

DADOS

CARGA POR RODA 20000. KG TRILHO 57. KG/M

RESTRIÇÕESPRESSÃO SOB OS DORMENTES 3.5 KG/CM<sup>2</sup>

ALTURA DE LASTRO VARIANDO ENTRE 25. A 30. CM

DEFLEXÃO MÁXIMA DA GRADE 0.635 CM

---

QUADRO 8 : Resultados - PENAL 2

---

TESE DE MESTRADO - IME - TRANSPORTE FERROVIÁRIO

VALORES ÓTIMOS DAS VARIÁVEIS INDEPENDENTES

D = 60.

FD = 1920.

CBR = 22.

NÚMERO DE ITERAÇÕES 72

CUSTO TOTAL ANUAL Cr\$ 23119548.552 POR KM

VALOR DO INVESTIMENTO = Cr\$ 116789007.600 POR KM

RESULTADOSPRESSÃO SOB OS DORMENTES 3.40 KG/CM<sup>2</sup>

ALTURA DO LASTRO 25. CM

ALTURA DO SUBLASTRO 10. CM

DEFLEXÃO DA GRADE 0.340 CM

DADOS

CARGA POR RODA 20000. KG TRILHO 57. KG/M

RESTRIÇÕESPRESSÃO SOB OS DORMENTES 3.5 KG/CM<sup>2</sup>

ALTURA DE LASTRO VARIANDO ENTRE 25. A 30. CM

DEFLEXÃO MÁXIMA DA GRADE 0.635 CM

---

---

QUADRO 9 : Resultados - PENAL 3

---

TESE DE MESTRADO - IME - TRANSPORTE FERROVIÁRIO

VALORES ÓTIMOS DAS VARIÁVEIS INDEPENDENTES

$$D = 60.$$

$$FD = 2887.$$

$$CBR = 24.$$

NÚMERO DE ITERAÇÕES 131

CUSTO TOTAL ANUAL Cr\$ 23146408.879 POR KM

VALOR DO INVESTIMENTO = Cr\$ 117066434.946 POR KM

RESULTADOSPRESSÃO SOB OS DORMENTES 2.50 KG/CM<sup>2</sup>

ALTURA DO LASTRO 25. CM

ALTURA DO SUBLASTRO 10. CM

DEFLEXÃO DA GRADE 0.251 CM

DADOS

CARGA POR RODA 20000. KG TRILHO 57. KG/M

RESTRIÇÕESPRESSÃO SOB OS DORMENTES 3.5 KG/CM<sup>2</sup>

ALTURA DE LASTRO VARIANDO ENTRE 25. A 30. CM

DEFLEXÃO MÁXIMA DA GRADE 0.635 CM

---

---

- variação da taxa adotada para o custo de oportunidade do capital;

- alteração das condições de contorno degradando ou melhorando o padrão de projeto.

A exceção dos dois últimos itens, tais modificações acarretarão numa nova quantificação dos custos unitários visto que as especificações iniciais foram mudadas.

#### 4.2.2 - Trem de Carga

Em face da aplicação do procedimento e modelo a este exemplo ser bastante semelhante ao anterior, apresentar-se-ão de forma sucinta e simplificada somente as etapas que contiverem características diferentes das correspondentes a aplicação para trem metropolitano.

As etapas 4.2.1.2, 4.2.1.5, 4.2.1.7 e 4.2.1.8 não serão apresentadas por elas serem idênticas as correspondentes no exemplo anterior.

A seguir apresentam-se os dados referentes às demais etapas que caracterizam a particularidade do projeto em estudo.

##### 4.2.2.1 - Identificação das Condicionantes Básicas do Projeto

QUADRO 10: Características Operacionais

Volume Anual de Tráfego	40 MTB
Velocidade Operacional Máxima	60 km/h
Trem-Tipo	4 Loco + 92 vagões
Carga por eixo	32 t
Bitola	1.60 m

QUADRO 11: Características Planimétricas

Variação do Raio em m	Extensão Total do Trecho em m
3492	37180
3492 - 1164	7700
1164 - 698	19120
Extensão Total	64000

QUADRO 12: Características Altimétricas

Variação da Rampa em %	Extensão Total do Trecho em m
0.0 - 0.5	12420
0.5 - 1.0	51580

## 4.2.2.2 - Identificação das Disponibilidades do Sítio de Projeto

QUADRO 13: Características dos Materiais Selecionados para a Camada Final de Terraplenagem e Sub-Lastro

Tipo	CBR
Camada Final de Terraplenagem	8
Sub-lastro I	34
Sub-lastro II	67

#### 4.2.2.3 - Estabelecimento das Condições Iniciais

QUADRO 14: Condições Iniciais

Trilhos (Niobrás - CSN)	TR 68
Área de Apoio dos Dormentes	
- madeira	( $1800 \leq F_d \leq 2400$ ) $\text{cm}^2$
- concreto bi-bloco	( $2400 \leq F_d \leq 2600$ ) $\text{cm}^2$
- concreto monobloco	( $2600 \leq F_d \leq 3200$ ) $\text{cm}^2$
Custo de Oportunidade do Capital	12% a.a.
Coeficiente de Lastro	5 $\text{kg/cm}^3$
Altura mínima do Sub-lastro	10 cm
Coeficiente de Impacto	2
Seção Transversal Tipo	Figura 4

#### 4.2.2.4 - Elaboração das Alternativas

QUADRO 15: Restrições de Projeto

Espaçamento dos dormentes	( $50 \leq d \leq 60$ ) cm
Pressão Máxima admissível	$P_o \leq 4.5 \text{ kg/cm}^2$
Altura do Lastro	( $25 \leq h \leq 35$ ) cm
Deflexão Máxima da Grade	$D_g \leq 0.635 \text{ cm}$

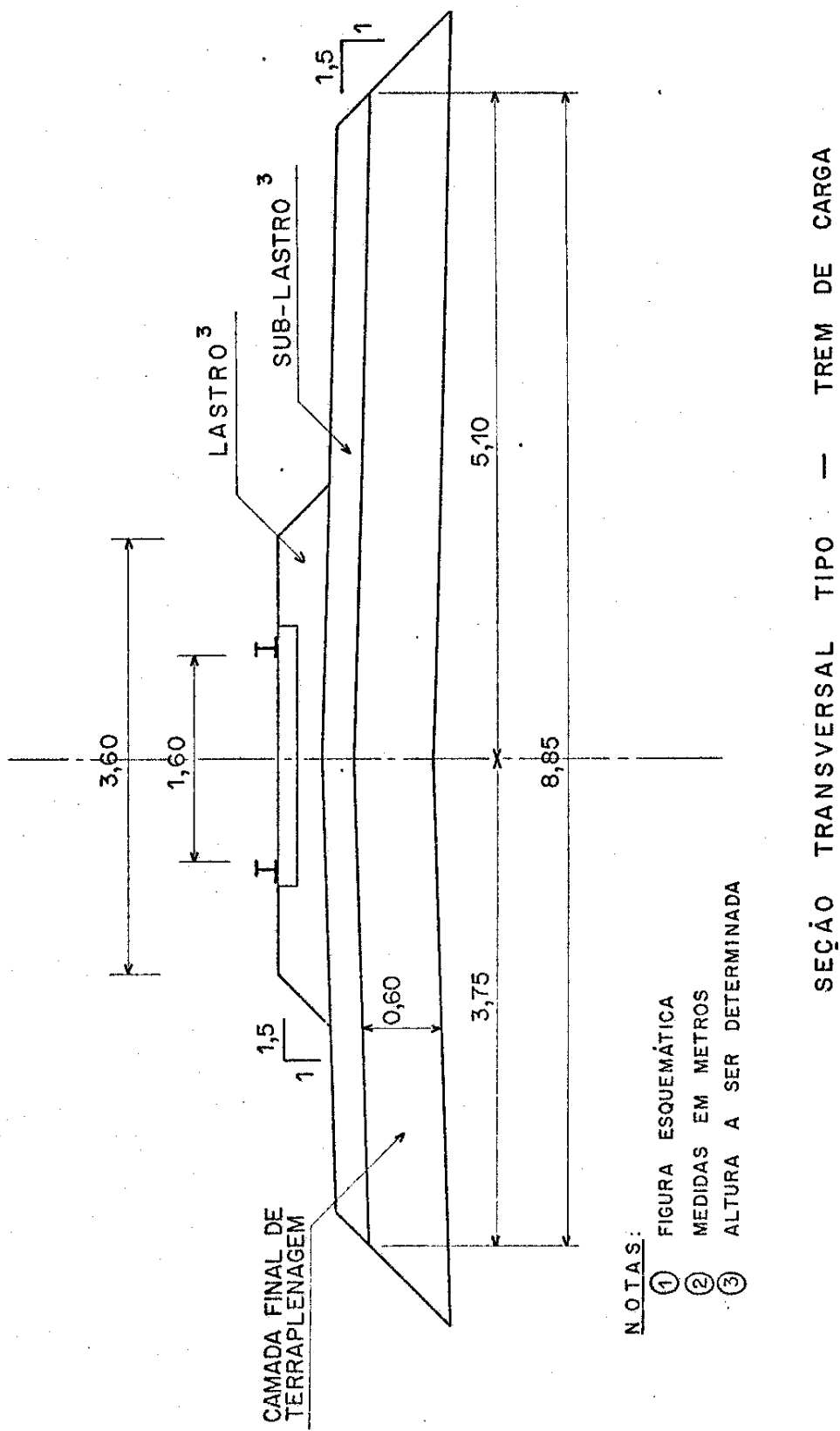


FIGURA 4: Seção Transversal Tipo - Trem de Carga

No Quadro 16 são apresentadas as informações de caracterização da alternativa na formatação do arquivo de dados Penalin.

#### 4.2.2.5 - Aplicação do Modelo

Da aplicação do modelo por meio do programa Penalin são obtidos os resultados apresentados nos Quadros 17, 18 e 19.

#### 4.2.3 - Considerações Finais

Vale destacar os seguintes aspectos gerais da análise dos resultados da aplicação do modelo proposto a esses dois casos distintos:

. apesar de cada uma das versões representar uma composição de metodologias de dimensionamento de características diferentes quanto a avaliação dos esforços e pressões no corpo do sistema, os resultados demonstram que, no conjunto, as distintas tendências de cada metodo logia conduzem a valores da função custo total anual próximos como pode ser visto pela composição dos Quadros 7, 8 e 9 e 17, 18 e 19;

. é interessante notar que a influência do valor do CBR dos materiais destinados a execução do sub-lastro é relativa sob o ponto de vista estrutural, do que se de preende que, da escolha das disponibilidades para esta camada poder-se-ia ter utilizado materiais menos nobres

QUADRO 16: Dados de Entrada - PENALIN

	100	TESE DE MESTRADO	-	IME	-	TRANSPORTE FERROVIÁRIO
200		3	0.1		.1	
300	50.	50.	60.			
400	1800.	1800.	3200.			
500	8.	8.	67.			
600	32000.	68.		3950	40000000	
700	9	0.12				
800	1.5	1.5		1.5	2	0.6
900	5.	2100000.		3.60	8.85	34.
1000	2400.	2600.				
1100	351224.	10000000.		0.	12120.	6680.
1200	11094.	5000.		2450.	23642.	28389.
1300				11208.	2125110.	
1400	8.6	1.8		0.	6.0	9.0
1500	30.	13.		30.	25.	
1600	4.5	25.		35.	0.635	

QUADRO 17: Resultados - PENAL 1

---

TESE DE MESTRADO - IME - TRANSPORTE FERROVIÁRIO

VALORES ÓTIMOS DAS VARIÁVEIS INDEPENDENTES

$$D = 60.$$

$$FD = 3193.$$

$$CBR = 14.$$

NÚMERO DE ITERAÇÕES 75

CUSTO TOTAL ANUAL Cr\$ 31760200.708 POR KM

VALOR DO INVESTIMENTO = Cr\$ 15239.6157.547 POR KM

RESULTADOSPRESSÃO SOB OS DORMENTES 2.85 KG/CM<sup>2</sup>

ALTURA DO LASTRO 29. CM

ALTURA DO SUBLASTRO 10. CM

DEFLEXÃO DA GRADE 0.569 CM

DADOS

CARGA POR RODA 32000. KG TRILHO 68. KG/M

RESTRIÇÕESPRESSÃO SOB OS DORMENTES 4.5 KG/CM<sup>2</sup>

ALTURA DE LASTRO VARIANDO ENTRE 25. A 35. CM

DEFLEXÃO MÁXIMA DA GRADE 0.635 CM

---

---

## QUADRO 18 : Resultados - PENAL 2

---

TESE DE MESTRADO - IME - TRANSPORTE FERROVIÁRIO

VALORES ÓTIMOS DAS VARIÁVEIS INDEPENDENTES

D = 60.

FD = 3172.

CBR = 23.

NÚMERO DE ITERAÇÕES 222

CUSTO TOTAL ANUAL Cr\$ 32352327.552 POR KM

VALOR DO INVESTIMENTO = Cr\$ 158404263.963 POR KM

RESULTADOS

PRESSÃO SOB OS DORMENTES 2.86 KG/CM2

ALTURA DO LASTRO 25. CM

ALTURA DO SUBLASTRO 17. CM

DEFLEXÃO DA GRADE 0.572 CM

DADOS

CARGA POR RODA 32000. KG TRILHO 68. KG/M

RESTRIÇÕES

PRESSÃO SOB OS DORMENTES 4.5 KG/CM2

ALTURA DE LASTRO VARIANDO ENTRE 25. A 35. CM

DEFLEXÃO MÁXIMA DA GRADE 0.635 CM

---

## QUADRO 19: Resultados - PENAL 3

---

TESE DE MESTRADO - IME - TRANSPORTE FERROVIÁRIO

VALORES ÓTIMOS DAS VARIÁVEIS INDEPENDENTES

$$D = 58.$$

$$FD = 2787.$$

$$CBR = 32.$$

NÚMERO DE ITERAÇÕES 76

CUSTO TOTAL ANUAL Cr\$ 33399178.323 POR KM

VALOR DO INVESTIMENTO = Cr\$ 166944514.385 POR KM

RESULTADOS

PRESSÃO SOB OS DORMENTES 3.10 KG/CM<sup>2</sup>

ALTURA DO LASTRO 25. CM

ALTURA DO SUBLASTRO 25. CM

DEFLEXÃO DA GRADE 0.599 CM

DADOS

CARGA POR RODA 32000. KG TRIILHO 68. KG/M

RESTRIÇÕES

PRESSÃO SOB OS DORMENTES 4.5 KG/CM<sup>2</sup>

ALTURA DE LASTRO VARIANDO ENTRE 25. A 35. CM

DEFLEXÃO MÁXIMA DA GRADE 0.635 CM

---

e portanto mais baratos para obter-se o mesmo resultado;

corroborando a fundamentação teórica do processo de racionalização do dimensionamento do conjunto superestrutura ferroviária e camada final de terraplenagem, o item custo que está diretamente associado ao nível de escassez ou disponibilidade dos materiais no sítio de implantação ou no mercado, atua como fator de essencial importância na determinação dos valores das variáveis de decisão.

## CAPÍTULO V

### CONCLUSÕES E RECOMENDAÇÕES

#### 5.1 - Conclusões

Este trabalho, embora não tenha caráter definitivo nem pretenda ser isento de falhas, buscou contribuir positivamente para o crescimento da bagagem científica e tecnológica do País, no campo da engenharia ferroviária, no estabelecimento das bases de uma filosofia conceitual de racionalização aplicada.

O objetivo de desenvolver um instrumento de auxílio ao projetista capaz de associar os aspectos técnicos aos econômicos do dimensionamento do conjunto superestrutura ferroviária e camada final de terraplenagem, por esse não existir no meio técnico até o presente, foi atingido como pode ser observado dos resultados numéricos obtidos nas aplicações apresentadas no Capítulo IV.

Este objetivo, alcançado com a elaboração de um modelo de racionalização de meios e investimentos, coerente e compatível com a realidade econômica que atravessa o contexto nacional, demonstra que processos para a determinação de soluções eficazes e de custo mínimo são factíveis e de fácil aplicação.

Da análise do modelo e procedimento desenvolvidos

e de sua aplicação a projetos de ferrovias metropolitanas ou de transporte de carga, pode-se concluir que:

- a experiência do projetista e seu conhecimento das disponibilidades do sítio de implantação e do mercado são fatores de primordial importância na obtenção da configuração de menor custo total anual;

- a estrutura do modelo permite a inclusão de novas variáveis de forma simples. Parâmetros tais como o tipo e inércia do trilho assumidos como constantes na formulação do modelo, poderão ser escolhidos como variáveis de decisão para fins de uma racionalização mais ampla do dimensionamento desde que os mesmos entrem na composição da função custo;

- o modelo independe das metodologias empregadas para dimensionamento estrutural e para a formulação da função custo total anual, isto é, a escolha das mesmas deve ser feita pelo projetista em questão;

- a análise da sensibilidade do custo total anual com a variação de qualquer parâmetro constante pode ser feita a partir dos resultados obtidos da aplicação sucessiva do modelo;

- em situações particularmente especiais imposições de natureza política, gerencial, ecológica e financeira poderão contribuir com custos exógenos ao contexto do projeto que inviabilizem qualquer solução de custo mí-

nimo fundamentada em critérios eminentemente técnicos.

### 5.2 - Recomendações

Como recomendações para desenvolvimento de futuros trabalhos com continuidade com este, sugere-se:

- elaborar um modelo que considere simultaneamente o dimensionamento da camada final de terraplenagem e sublastro;
- desenvolver um estudo para adequar o modelo às recentes teorias de determinação da pressão admissível da fundação para solicitações dinâmicas de carregamento a partir do módulo de elasticidade estático do material;
- realizar uma pesquisa de campo para avaliar o desempenho da aplicação de geotêxteis em fundações de baixa capacidade de suporte e elevado grau de saturação;
- avaliar o efeito da repetição da carga por eixo na vida útil dos materiais do conjunto superestrutura ferroviária e camada final de terraplenagem;
- reavaliar a geometria padronizada dos dormentes de madeira para as bitolas de 1.00 m e 1.60 m, de modo a tornar a sua utilização mais adequada às várias classes de ferrovias, aumentando-se assim a sua competitividade com os dormentes de concreto.

## APENDICE A:

## LISTAGEM DO PROGRAMA FONTE

```

100      RESET FREE
200      FILE 2(NINE=DISK?TITLE="PENALD1",FILETYPE=1,PROTECTION=SAVE)
300      C
400      C
500      C
600      C
700      C
800      C
900      C
1000     C
1100     C
1200     C
1300     C
1400     C
1500     C
1600     C
1700     C
1800     C
1900     C
2000     C
2100     C
2200     C
2300     C
2400     C
2500     C
2600     C
2700     C
2800     C
2900     C
3000     C

```

\*\*\*\*\*

LICENCIAMENTO, LIVELLO  
CCW, CNA, EFS, DED, ASSET, LEVIN, K(15), VIDAC(10), FRAC(10), XNN(10), XS  
ATTC(10), XNY(10), FEST, FRAC, H2, K1, NSPE, EG, N6, Z, HS, C, II, E, GD, N  
N, H1, H2, H3, JLH, AA, TH, H, NIVEL, CUTRC, DORT, LASIE, SULAS, FIXAC, CFT  
TERAC, CTRC, CPSS, FRZ, K44, XSY, D1, D2, NI  
REAL, NS, NC, AN, JP, JUR, NIVEL, PASTR

\*\*\*\*\*

DEFINIÇÕES, VARIÁVEIS E PARÂMETROS DE FONTE

\*\*\*\*\*

\*\*\*\*\*

3100	XSTR1(1) - VALOR INICIAL FAFA E PROCESSO DE BUSCA NO INTERVALO DEFAZER CÁPACIDADES DIFERENTES DE NADIR
3200	XPA(2) - FAFA FAZER CÁPACIDADES DIFERENTES DE NADIR
3300	XAC(2) - FAFA FAZER CÁPACIDADES DIFERENTES DE NADIR
3400	XSTR1(2) - FAFA FAZER CÁPACIDADES DIFERENTES DE NADIR
3500	XSTR1(3) - FAFA FAZER CÁPACIDADES DIFERENTES DE NADIR
3600	XSTR1(4) - FAFA FAZER CÁPACIDADES DIFERENTES DE NADIR
3700	XSTR1(5) - FAFA FAZER CÁPACIDADES DIFERENTES DE NADIR
3800	XSTR1(6) - FAFA FAZER CÁPACIDADES DIFERENTES DE NADIR
3900	XSTR1(7) - FAFA FAZER CÁPACIDADES DIFERENTES DE NADIR
4000	XSTR1(8) - FAFA FAZER CÁPACIDADES DIFERENTES DE NADIR
4100	XSTR1(9) - FAFA FAZER CÁPACIDADES DIFERENTES DE NADIR
4200	XSTR1(10) - FAFA FAZER CÁPACIDADES DIFERENTES DE NADIR
4300	XSTR1(11) - FAFA FAZER CÁPACIDADES DIFERENTES DE NADIR
4400	XSTR1(12) - FAFA FAZER CÁPACIDADES DIFERENTES DE NADIR
4500	XSTR1(13) - FAFA FAZER CÁPACIDADES DIFERENTES DE NADIR
4600	XSTR1(14) - FAFA FAZER CÁPACIDADES DIFERENTES DE NADIR
4700	XSTR1(15) - FAFA FAZER CÁPACIDADES DIFERENTES DE NADIR
4800	XSTR1(16) - FAFA FAZER CÁPACIDADES DIFERENTES DE NADIR
4900	XSTR1(17) - FAFA FAZER CÁPACIDADES DIFERENTES DE NADIR
5000	XSTR1(18) - FAFA FAZER CÁPACIDADES DIFERENTES DE NADIR
5100	XSTR1(19) - FAFA FAZER CÁPACIDADES DIFERENTES DE NADIR
5200	XSTR1(20) - FAFA FAZER CÁPACIDADES DIFERENTES DE NADIR
5300	XSTR1(21) - FAFA FAZER CÁPACIDADES DIFERENTES DE NADIR
5400	XSTR1(22) - FAFA FAZER CÁPACIDADES DIFERENTES DE NADIR
5500	XSTR1(23) - FAFA FAZER CÁPACIDADES DIFERENTES DE NADIR
5600	XSTR1(24) - FAFA FAZER CÁPACIDADES DIFERENTES DE NADIR
5700	XSTR1(25) - FAFA FAZER CÁPACIDADES DIFERENTES DE NADIR
5800	XSTR1(26) - FAFA FAZER CÁPACIDADES DIFERENTES DE NADIR
5900	XSTR1(27) - FAFA FAZER CÁPACIDADES DIFERENTES DE NADIR
6000	XSTR1(28) - FAFA FAZER CÁPACIDADES DIFERENTES DE NADIR
6100	XSTR1(29) - FAFA FAZER CÁPACIDADES DIFERENTES DE NADIR
6200	XSTR1(30) - FAFA FAZER CÁPACIDADES DIFERENTES DE NADIR
6300	XSTR1(31) - FAFA FAZER CÁPACIDADES DIFERENTES DE NADIR
6400	XSTR1(32) - FAFA FAZER CÁPACIDADES DIFERENTES DE NADIR
6500	XSTR1(33) - FAFA FAZER CÁPACIDADES DIFERENTES DE NADIR
6600	XSTR1(34) - FAFA FAZER CÁPACIDADES DIFERENTES DE NADIR
6700	XSTR1(35) - FAFA FAZER CÁPACIDADES DIFERENTES DE NADIR
6800	XSTR1(36) - FAFA FAZER CÁPACIDADES DIFERENTES DE NADIR
6900	XSTR1(37) - FAFA FAZER CÁPACIDADES DIFERENTES DE NADIR
7000	XSTR1(38) - FAFA FAZER CÁPACIDADES DIFERENTES DE NADIR
7100	XSTR1(39) - FAFA FAZER CÁPACIDADES DIFERENTES DE NADIR
7200	XSTR1(40) - FAFA FAZER CÁPACIDADES DIFERENTES DE NADIR
7300	XSTR1(41) - FAFA FAZER CÁPACIDADES DIFERENTES DE NADIR
7400	XSTR1(42) - FAFA FAZER CÁPACIDADES DIFERENTES DE NADIR
7500	XSTR1(43) - FAFA FAZER CÁPACIDADES DIFERENTES DE NADIR
7600	XSTR1(44) - FAFA FAZER CÁPACIDADES DIFERENTES DE NADIR







### REINVENTION OF EFFECTIVE

DE 2097159 A1 (1974-06-20)

DE 2097159 A1 (1974-06-20)

DE 2097159 A1 (1974-06-20)

DE 2097159 A1 (1974-06-20)

DE









## APÊNDICE B

### PROGRAMA PENAL

#### 1. Análise Conceitual

A estrutura conceitual do programa PENAL é baseada em uma busca exploratória e direcional dos valores das variáveis de decisão que situados entre os limites inferior e superior fixados, minimizem a função custo total anual e satisfaçam as restrições impostas pelo projeto.

#### 2. Estrutura Geral

Para fins de adaptação ou modificação das metodologias para dimensionamento mecânico da via e para determinação do custo total anual, o PENAL foi elaborado com uma estrutura modular de fácil compreensão quanto a sua funcionalidade.

#### 3. Versões Produzidas

Para exemplificar a versatilidade conceitual do programa PENAL foram elaboradas três versões, cada uma utilizando metodologias para determinação dos esforços no conjunto superestrutura ferroviária distintas, como mostra o Quadro 20 .

QUADRO 20: Versões do Programa Penal

Denominação	Metodologia Empregada
PENAL 1	Zimmermann (4)
	J.N.R. (14)
	Heukelom (19) e (20)
PENAL 2	Zimmermann (43)
	Love (16)
	Heukelom (19) e (20)
PENAL 3	Talbot (10) e (13)
	Heukelom (19) e (20)

Em todas as três versões foi adotada a metodologia desenvolvida por Rodrigues<sup>1,2</sup> para a determinação da vida útil e o custo anual de cada material ou serviço empregado no conjunto superestrutura ferroviária e camada final de terraplenagem.

#### 4. O Programa Penal

O programa PENAL está constituído de um arquivo de entrada de dados (PENALIN), o programa fonte constituído pelo programa principal com sete subrotinas e o arquivo de saída dos resultados (PENALOUT) conforme mostra-se na Figura 5. O programa foi desenvolvido para terminal de vídeo do computador Burroughs 6900 implantado no Instituto Militar de Engenharia.

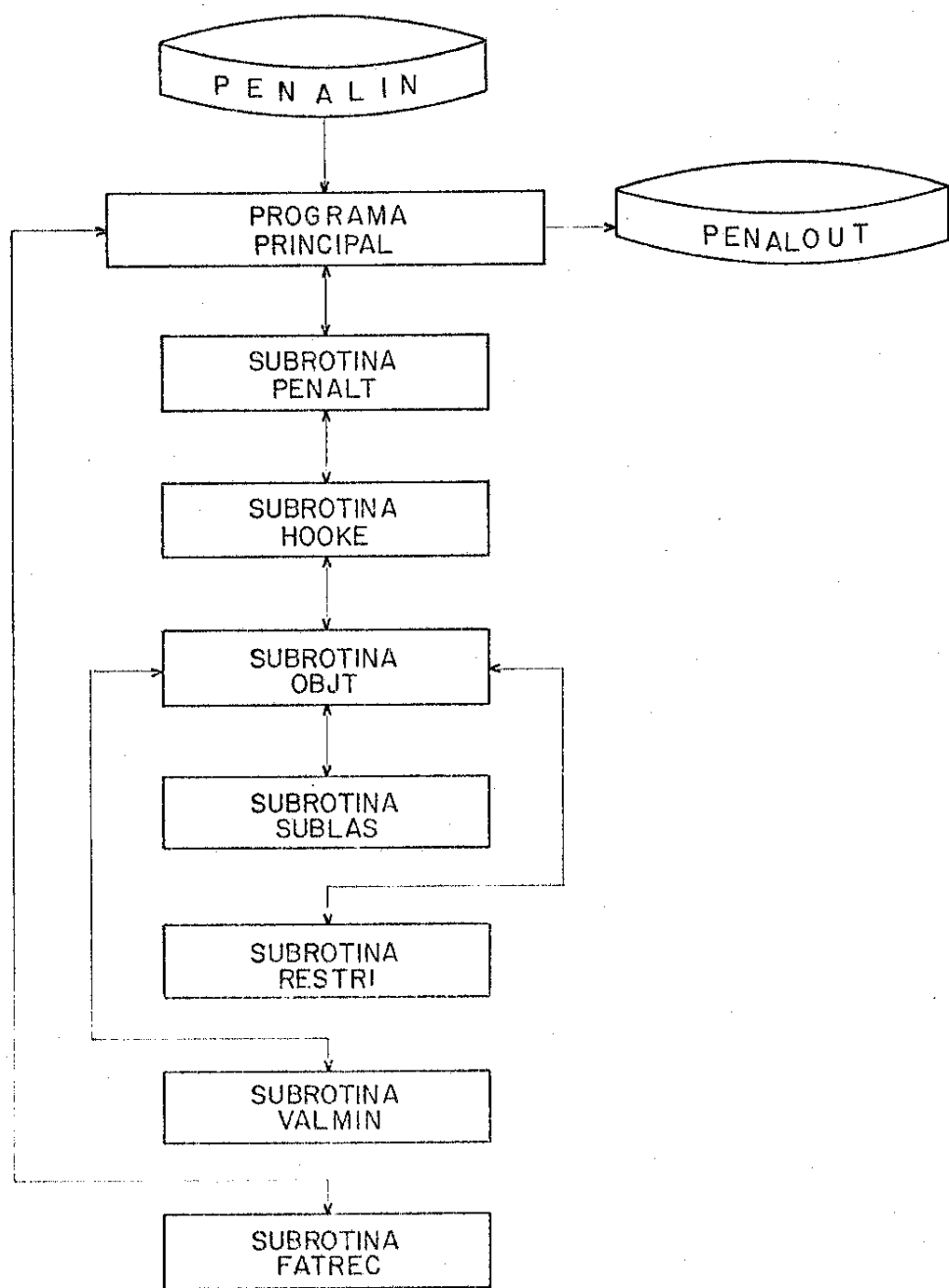


FIGURA 5: Programa Penal - Diagrama de Blocos

#### 4.1 - Programa Fonte

O programa fonte compõe-se das seguintes partes:

- a) PROGRAMA PRINCIPAL - lê o arquivo PENALIN, chama a subrotina FATREC e a PENALT e produz o arquivo PENALOUT;
- b) Subrotina FATREC - calcula o fator de recuperação de capital para cada material ou serviço da superestrutura com base no custo de oportunidade do capital e na vida útil dos materiais e serviços;
- c) Subrotina PENALT - determina o fator de penalidade a ser imposto a função penalidade, controla a aproximação dos resultados e chama a subrotina Hooke;
- d) Subrotina Hooke - calcula o passo inicial para cada variável independente, faz a busca exploratória e movimentação direcional, incrementa as variáveis ao longo dos seus campos e chama a subrotina OBJT;
- e) Subrotina OBJT - chama a subrotina SUBLAS e RESTRI, calcula as funções penalidades, determina os valores das funções objeto e resposta, imprime resultados parciais das iterações e chama a subrotina VALMIN;
- f) Subrotina SUBLAS - calcula as funções restritivas e determina a altura do sublastro;
- g) Subrotina RESTRI - determina o valor do custo para cada área de apoio e capacidade suporte da fundação

em função do tipo de dormente e CBR respectivamente;

h) Subrotina VALMIN - controla e guarda o valor mínimo da função resposta que atende as funções restritivas.

#### 4.2 - Arquivo de Dados

O arquivo PENALIN contém toda a base de informações de dados, os que no Quadro 21 aparecem com os respetivos formatos, que são necessários para caracterizar a alternativa que se procura otimizar.

A definição dos elementos do PENALIN é apresentada a seguir.

TITL (L) - Título Geral

N - Número de variáveis independentes

EPS - Precisão das iterações

DDD - Passo inicial

JOTM - Indicador do processo de minimização (-1)

XMN (1) - Limite inferior do intervalo de variação do espaçamento dos dormentes

XMX (1) - Limite superior do intervalo de variação do espaçamento dos dormentes

XSTRT(1) - Valor inicial para o processo de busca no intervalo definido para o espaçamento dos dormentes

XMN(2) - Área de apoio mínima para dormentes de madeira

XMX(2) - Área de apoio máxima para dormentes de concreto

QUADRO 21: Arquivo Penalin

Linha		Elementos	e	Formatação
100		Título (18A4)		
200	N(11Ø)	EPS(110.7)	DDD(F10.3)	JOTM(11Ø)
300	XMN(1) (F5.Ø)		XSTRT(1) (F5.Ø)	XMX(1) (F5-Ø)
400	XMN(2) (F5.Ø)		XSTRT(2) (F5.Ø)	XMX(2) (F5.Ø)
500	XMN(3) (F5.Ø)		XSTRT(3) (F5.Ø)	XMX(3) (F5.Ø)
600	QD(F1Ø.Ø)	WT (F1Ø.Ø)	II (11Ø)	N1(11Ø)
700	NN (11Ø)	JUR (F1Ø.2)		
800	N5(F1Ø.2)	N8 (F1Ø.2)	Z(F1Ø.2)	HC (F1Ø.2)
900	C (F1Ø.2)	E(F1Ø.2)	B5 (F1Ø.2)	AA (F1Ø.2)
1000	D1(F1Ø.2)	D2(F1Ø.2)		
1100	K(1)F1Ø.2)	K(2) (F1Ø.2)	K(3) (F1Ø.2)	K(4) (F1Ø.2)
1200	K(6) (F1Ø.2)	K(7) (F1Ø.2)	K(8) (F1Ø.2)	K(9) (F1Ø.2)
1300			K(13) (F1Ø.2)	K(14) (F1Ø.2)
1400	VIDA(1) (F1Ø.2)	VIDA(2) (F1Ø.2)	VIDA(3) (F1Ø.2)	VIDA(4) (F1Ø.2)
1500	VIDA(6) (F1Ø.2)	VIDA(7) (F1Ø.2)	VIDA(8) (F1Ø.2)	VIDA(9) (F1Ø.2)
1600	W11(F1Ø.3)	W22 (F1Ø.3)	W33 (F1Ø.3)	W44 (F1Ø.3)

- XSTART(2) - Valor inicial para o processo de busca no intervalo definido para a área de apoio do dormente
- XMN (3) - CBR da camada final de terraplenagem
- XMX (3) - CBR do sub-lastro II
- XSTART(3) - Valor inicial para o processo de busca no intervalo definido para o CBR
- QD - Carga dinâmica por roda (Kg)
- WT - Tipo do trilho (Kg/m)
- II - Momento de inércia do trilho ( $CM^4$ )
- N1 - Tonelagem bruta anual
- NN - Número de elementos do vetor vida (LJ)
- JUR - Custo de oportunidades do capital (valor centesimal)
- N5 - Talude do lastro (1:N)
- N6 - Talude do sub-lastro(1:N)
- N8 - Talude da camada final de terraplenagem (1:N)
- Z - Número de jogos de fixações por dormente
- AC - Altura da camada final de terraplenagem (M)
- C - Coeficiente de lastro ( $Kg/cm^3$ )
- E - Módulo de elasticidade do aço ( $Kg/cm^2$ )

- B5 - Largura de ombreira a ombreira do lastro (M)
- B6 - Largura da plataforma (M)
- AA - CBR do primeiro material para sub-lastro
- D1 - Área de apoio máxima para dormentes de madeira ( $\text{cm}^2$ )
- D2 - Área de apoio máxima para dormentes de concreto bi-bloco ( $\text{cm}^2$ )
- K (1) - Custo unitário do trilho (Cr\$/t)
- K (2) - Custo unitário do nivelamento, alinhamento e socaria (Cr\$/Km)
- K (3) - Custo unitário de materiais ou serviços não convencionais (Cr\$/Km)
- K (4) - Custo unitário do dormente de madeira (Cr\$/un)
- K (5) - Custo unitário do lastro (Cr\$/ $\text{m}^3$ )
- K (6) - Custo unitário do sub-lastro I (Cr\$/ $\text{m}^3$ )
- K (7) - Custo unitário do jogo de fixações (Cr\$/jogo)
- K (8) - Custo unitário da camada final de terraplenagem (Cr\$/ $\text{m}^3$ )
- K (9) - Custo unitário do dormente de concreto bi-bloco (Cr\$/un)
- K(10) - Custo unitário do dormente de concreto monobloco (Cr\$/un)

- K (13) - Custo unitário do sub-lastro II ( $\text{Cr\$}/\text{m}^3$ )
- K (14) - Custo de soldas ( $\text{Cr\$}/\text{km}$ )
- VIDA(1) - Vida útil do trilho (anos)
- VIDA(2) - Vida útil do nivelamento, alinhamento e socaria (anos)
- VIDA(3) - Vida útil de serviços não convencionais (anos)
- VIDA(4) - Vida útil do dormente de madeira (anos)
- VIDA(5) - Vida útil do lastro (anos)
- VIDA(6) - Vida útil do sub-lastro (anos)
- VIDA(7) - Vida útil das fixações (anos)
- VIDA(8) - Vida útil da camada final de terraplenagem (anos)
- VIDA(9) - Vida útil dos dormentes de concreto (anos)
- W11 - Limite da pressão transmitida pelos dormentes ( $\text{Kg}/\text{cm}^2$ )
- W22 - Limite inferior da altura do lastro (cm)
- W33 - Limite superior da altura do lastro (cm)
- W44 - Limite da deflexão máxima da grade (cm)

#### 4.3 - Arquivo de Saída

O arquivo PENALOUT é o relatório produto de todas as iterações executadas pelo programa fonte na busca de valores para as variáveis independentes que atendam as restrições impostas. Ao final do processo iterativo é pro

duzido um relatório auto-explicativo, contendo os valores otimizados para as variáveis independentes e demais valores decorrentes destas. Algumas informações adicionais sobre os principais dados e restrições impostas encerram esse relatório.

No Quadro 22 e a seguir apresentam-se algumas explicações elucidativas sobre o produto de cada iteração para melhor compreensão dos resultados parciais.

QUADRO 22: Resultados Parciais - Penalout

	EXP = 00.0,	EXP = 000.0	EXP = 00.0
OBJECT	0.	00.	000.
	0000.	000000.00	
	0.00	0.00	0.00
	0.00	00.00	0.00
			0000000.00

#### Descrição dos elementos:

1<sup>a</sup> Linha - valores das variáveis independentes gerados pela subrotina Hooke;

2<sup>a</sup> Linha - altura do sub-lastro;

3<sup>a</sup> Linha - nº da iteração e valores das variáveis independentes considerados para os cálculos dos demais

esforços gerados nas interfaces;

4<sup>a</sup> Linha - valor do fator da função penalidade e valor da função objetivo;

5<sup>a</sup> Linha - resíduos gerados pelas funções restritivas: 1º elemento: pressão sob os dormentes; 2º e 3º elementos: altura do lastro; 4º elemento: deflexão máxima da grade;

6<sup>a</sup> Linha - valores calculados para a pressão sob os dormentes, altura de lastro, deflexão da grade e função resposta.

Cabe ressaltar complementarmente que se após todas as iterações o relatório final produzir todos os valores iguais a Zero, é porque não foi encontrado nenhum conjunto de valores não nulos para as variáveis independentes. Neste caso o projetista deverá reavaliar os limites impostos tanto para as variáveis independentes quanto para as funções restritivas, pois é o caso de existir alguma incompatibilidade nas mesmas.

APÊNDICE C

CUSTOS UNITÁRIOS - TRANSPORTE FERROVIÁRIO  
METROPOLITANO

QUADRO 23: Custos Unitários - Transporte Ferroviário Metropolitano (ORTN = Cr\$ 4224.54 e US\$ = Cr\$ 523.56)

Especificação	Unidade	Valor (Cr\$)
<b>TRILHO</b>		
- custo usina	t	235.220,00
- transporte	t	<u>34.150,00</u>
Sub-total		269.370,00
- soldas		
. elétrica	km	1.750.000,00
. aluminotérmica	km	<u>1.314.600,00</u>
Sub-total		3.064.600,00
<b>NIVELAMENTO, ALINHAMENTO E SOCARIA</b>		
- custo	km	15.000.000,00
<b>DORMENTES</b>		
- madeira tratada		
. custo	un	12.300,00
. transporte	un	225,00
Sub-total		12.525,00

QUADRO 23 : Custos Unitários - Transporte Ferroviário Metropolitano (continuação)

Especificação	Unidade	Valor (Cr\$)
- concreto bi-bloco		
. custo	un	16.900,00
. transporte	un	<u>270,00</u>
Sub-total		17.170,00
- concreto monobloco		
. custo	un	19.800,00
. transporte	un	<u>480,00</u>
Sub-total		20.280,00
LASTRO		
- custo usina	m <sup>3</sup>	4.570,00
- transporte	m <sup>3</sup>	<u>3.390,00</u>
Sub-total		7.960,00
SUB-LASTRO		
- custo de escavação, carga e		
transporte		
. sub-lastro I	m <sup>3</sup>	4.750,00
. sub-lastro II	m <sup>3</sup>	4.900,00

QUADRO 23 : Custos Unitários - Transporte Ferroviário Metropolitano (continuação)

Especificação	Unidade	Valor(Cr\$)
<b>FIXAÇÕES</b>		
- custo do conjunto incluindo transporte	un	4.500,00
<b>CAMADA FINAL DE TERRAPLENAGEM</b>		
- custo de escavação, carga e transporte	$m^3$	3.200,00

APÊNDICE D

CUSTOS UNITÁRIOS - TRANSPORTE  
FERROVIÁRIO DE CARGA

QUADRO 24 : Custos Unitários - Transporte Ferroviário de Carga (ORTN = Cr\$ 4224.54 e US\$ 523.56)

Especificação	Unidade	Valor(Cr\$)
TRILHO		
- custo usina	t	350.000,00
- transporte	t	<u>1.224,00</u>
Sub-total		351.224,00
- soldas		
. elétrica	km	1.386.000,00
. aluminotérmica	km	<u>1.932.000,00</u>
Sub-total		3.318.000,00
NIVELAMENTO, ALINHAMENTO E SOCARIA		
- custo	km	10.000.000,00
DORMENTES		
- madeira tratada		
. custo	un	10.500,00
. transporte	un	<u>1.620,00</u>
Sub-total		12.120,00

QUADRO 24: Custos Unitários - Transporte Ferroviário de carga (continuação)

Especificação	Unidade	Valor (Cr\$)
- concreto bi-bloco		
. custo	un	23.200,00
. transporte	un	442,00
Sub-total		23.642,00
- concreto monobloco		
. custo	un	27.800,00
. transporte	un	589,00
Sub-total		28.389,00
LASTRO		
- custo usina	m <sup>3</sup>	3.696,00
- transporte	m <sup>3</sup>	2.984,00
Sub-total		6.680,00
SUB-LASTRO		
- custo de escavação,carga e transporte		
. sub-lastro I	m <sup>3</sup>	11.094,00
. sub-lastro II	m <sup>3</sup>	11.207,00

QUADRO 24: Custos Unitários - Transporte Ferroviário de Carga (continuação)

Especificação	Unidade	Valor (Cr\$)
<b>FIXAÇÕES</b>		
- custo do conjunto incluso transporte	un	5.000,00
<b>CAMADA FINAL DE TERRAPLENAGEM</b>		
- custo de escavação carga e transporte	$m^3$	2.450,00

## APÊNDICE E

## AVALIAÇÃO DA VIDA ÚTIL DOS MATERIAIS E SERVIÇOS

QUADRO 25 : Avaliação da vida útil dos materiais e serviços

Item	Trem Metropolitano	Trem de Carga
Trilho	K <sub>1</sub> = 1.3930	K <sub>1</sub> = 1.2935
VUT = [ $\frac{8}{\pi}$ K <sub>i</sub> ] WD	K <sub>2</sub> = 1.0000	K <sub>2</sub> = 1.1500
i=1	K <sub>3</sub> = 0.9082	K <sub>3</sub> = 0.9732
VUT - vida útil do trilho em anos	K <sub>4</sub> = 0.5917	K <sub>4</sub> = 0.9067
W - peso do trilho em lb/jd	K <sub>5</sub> = 0.9639	K <sub>5</sub> = 0.3520
D - tonelagem em MTBA	K <sub>6</sub> = 1.0000	K <sub>6</sub> = 0.9100
	K <sub>7</sub> = 1.0000	K <sub>7</sub> = 0.8002
	K <sub>8</sub> = 0.9630	K <sub>8</sub> = 0.9730

QUADRO 25: Avaliação da vida útil dos materiais e serviços (continuação)

Item	Trem Metropolitano	Trem de Carga
- madeira	$W = 115$	$W = 136$
	$D = 13.23$	$D = 44.09$
	$VUT = 26.0$	$VUT = 8.6$
Dormente		
	$K_1 = 1.0300$	$K_1 = 1.0300$
	$VUD = 2.0323 \left[ \sum_{y=1}^6 K_y \right] e^{(2.3569.0.0350\alpha)} . D^{-0.1533}$	$K_2 = 1.0000$
		$K_3 = 0.9082$
		$K_4 = 0.9287$
		$K_5 = 0.8793$
		$K_6 = 1.0000$
		$\alpha = 0.9350$
		$\alpha = 0.9700$

QUADRO 25: Avaliação da vida útil dos materiais e serviços (continuação)

Item	Trem Metropolitano	Trem de Carga
	D = 13.23	D = 44.09
	VUD = 10.6	VUD = 6.0
- concreto bi-bloco e monobloco (estimado)	VUD = 30	VUD = 25
Nivelamento, Alinhamento e Sacaria	K <sub>1</sub> = 1.2000	K <sub>1</sub> = 1.2000
VUN = [ $\sum_{j=1}^7 K_j l_{10} \left( \frac{D-A}{B} \right)$ ]	K <sub>2</sub> = 1.0000	K <sub>2</sub> = 1.1500
	K <sub>3</sub> = 0.9082	K <sub>3</sub> = 0.9722
	K <sub>4</sub> = 0.9287	K <sub>4</sub> = 1.0185
	K <sub>5</sub> = 0.0793	K <sub>5</sub> = 0.5496
	K <sub>6</sub> = 1.0000	K <sub>6</sub> = 0.8002
	K <sub>7</sub> = 0.8000	K <sub>7</sub> = 0.9000
	D = 13.23	D = 44.09

QUADRO 25: Avaliação da vida útil dos materiais e serviços (continuação)

Item	Trem Metropolitano	Trem de Carga
	A = 121.31	A = 121.31
	B = -149.50	B = -149.50
	VUN = 3.8	VUN = 1.8
Lastro		
	VUL = 19	VUL = 9.0
	VUL = vida útil do lastro em anos	
Fixação		
	VUF = 1.7 x VUT	VUF = 26.0
	VUF - vida útil da fixação em anos	VUF = 14.6
Sub-lastro e Camada Final de Terraplenagem		

QUADRO 25: Avaliação da vida útil dos materiais e serviços (continuação)

Item	Trem Metropolitano	Trem de Carga
VUSL - vida útil do sub-lastro	VUSL = 30 em anos	VUSL = 30
VUCFT - vida útil da camada final de terraplenagem em	VUCFT = 30 anos	VUCFT = 30

## REFERÊNCIAS BIBLIOGRÁFICAS

1. RIVES, F.O. et alli - Tratado de Ferrocarriles I - Via.  
Editora Rueda, Espanha, 1977.
2. TALBOT, A.N. - Stresses in Railroad Track - The Talbot Reports. AREA, EUA, 1980.
3. SCHRAMM, Gerhard. Permanent Way Technique - Permanent Way Economy. Otto Elsner Verlagsgesellschaft, Alemanha, 1961.
4. AREA. Bulletin 645 - Manual Recommendations. EUA, 1973.
5. MAC DOWELL, F.L.C. Estudos de Custos de Conservação de Superestrutura Ferroviária para Trilhos de 45 kg/m Aplicação: Corredor de Exportação "Paranaguá". SAPSA/GEIPOT, 1980.
6. HEUKELOM, W. et alli. Dynamic Testing as a Mean of Controlling Pavements During and After Construction. University of Michigan, EUA, 1960.
7. HEUKELOM, W. et alli. Dynamic Testing of Pavements. ASCE, EUA, 1960.
8. KERR, A.D. et alli. Railroad Track Mechanics and Technology. Pergamon Press, Inglaterra, 1978.

9. Soil Mechanics for Road Engineers. Departament of Scientific and Industrial Research. Road Research Laboratory, Inglaterra, 1959
10. NOVAES, A.G. Métodos de Otimização - Aplicação aos Transportes. Editora Edgard Blucher Ltda, 1978.
11. ZANGWILL, W.I. Nonlinear Programming: A Unified Approach. Prentice Hall, INC, Englewood Cliffs, EUA, 1969.
12. RODRIGUES, C.A. Avaliação da Carga por Eixo dos Veículos Ferroviários. Tese de Mestrado, IME, 1983.

Tese apresentada por:

JOSE JULIO PRATA GOMES

e aprovada por:

Prof<sup>a</sup> MARIA CRISTINA FOGLIATTI DE SINAY -Ph.D.

Engº FERNANDO L.C. MAC DOWELL DA COSTA - Ph.D.

Engº SERGIO MISSE - M.Sc.

Engº CARLOS ALCEU RODRIGUES - M.C.